

Université Mohamed Khider – Biskra
 Faculté des Sciences Exactes et des
 Sciences de la Nature et de la Vie
 Département : Sciences de la Matière
 Ref :



جامعة محمد خضر بسكرة
 كلية العلوم الدقيقة وعلوم الطبيعة والحياة
 قسم: علوم المادة
 المرجع:.....

أطروحة

للحصول على شهادة دكتوراه في العلوم

التخصص: فيزياء المواد

من طرف: عطالله مراد

العنوان

مساهمة في دراسة الخصائص الفيزيائية لبعض المواد المغناطيسية

رئيسا	جامعة محمد خضر-بسكرة	أستاذ التعليم العالي	عبد الله عطاف
مشرف	جامعة المسيلة	أستاذ محاضر أ	ابرير ميلود
مساعد مشرف	جامعة محمد خضر-بسكرة	أستاذ التعليم العالي	العاقل السعيد
مناقش	جامعة محمد خضر-بسكرة	أستاذ التعليم العالي	وهاب عبد الوهاب
مناقش	جامعة المسيلة	أستاذ التعليم العالي	دغفل البحري
مناقش	جامعة المسيلة	أستاذ محاضر أ	بوصندل عبد المجيد

تشكرات

بادئ ببدء أشكر الله عزوجل على توفيقه لنا بإنتمام هذا العمل المتواضع لقد تم بعون الله إنجاز هذا العمل، تحت إشراف الأستاذان إبرير ميلود والعاقل السعيد اللذان أشكرهما جزيل الشكر على اقتراحهما للبحث وعلى كل مقدماه لي من نصائح ومعلومات قيمة.

كما أخصص شكري الكبير إلى رئيس اللجنة: عبد الله عطاف - أستاذ بجامعة بسكرة.

ونتقدم بالشكر الجزيل إلى أعضاء اللجنة الأستاذة:

وهاب عبد الوهاب - أستاذ - جامعة بسكرة.

دغفل البحري - أستاذ - جامعة المسيلة.

بوصندل عبدالمجيد - أستاذ - جامعة المسيلة.

على قبولهم تقييم هذا العمل وكأعضاء في لجنة المناقشة.

كما أشكر الأستاذ بري السعدي .

الإهداع

إلى الوالدين الكريمين

إلى زوجتي وأبنائي إدريس و هارون

إلى الإخوة محمد، خالد، عبد المالك،سامي.

إلى الأصدقاء ناجي توهامي، بري السعدي، العاقل عبد الغاني.

إلى جميع الأقارب .

الفهرس

01	مقدمة عامة
----	-------	------------

الفصل الأول**نظريّة دالّيّة الكثافة DFT**

08	معادلة شرودينغر	1.I
11	تقريب الأديابتيكي Born-Oppenhaier	2.I
12	تقريب هارترى- فوك Hartree-Fock	3.I
14	نظريّة دالّيّة الكثافة DFT	4.I
14	نظريّة توماس- فارمي Tomas-Fermi	1. 4.I
16	نظريّة هوهنج- لكون Hohenberg - kohn	2. 4.I
17	معادلة كهون- شام Kohn-Sham	3. 4.I
19	حلول معادلة كهون- شام	4. 4.I
21	تقريب كثافة الموضع LDA	5. 4.I
22	تقريب التدرج المعمم GGA	6. 4.I
22	تقريب U LSDA+ U	7. 4.I
23	تقريب U GGA+ U	8. 4.I

الفصل الثاني**طريقة الأمواج المستوية المتزايدة خطيا و الكمون الكامل FP-LAPW**

26	طريقة APW	1.II
30	مبدأ طريقة FP-LAPW	2.II
31	دور الطاقات الخطية	3.II
32	بنية الدوال الشعاعية	4.II
32	الدوال الشعاعية الlassبية	5.II

37	تحديد الكمونات	7.II
39	برناموج Wien2K	7.II

الفصل الثالث

عموميات حول مركبات هسلر

42	مقدمة.....	1.III
44	مركبات هسلر.....	2.III
46	أصل المغناطيسية في مركبات هسلر	3.III
48	قاعدة سلاتر باولينغ لمركبات هسلر الرباعية.....	4.III
51	درجة حرارة كيري	5.III
53	تطبيقات مركبات هسلر	6.III

الفصل الرابع

النتائج و المناقشة

57	مقدمة.....	1.IV
61	الخصائص البنوية.....	2.IV
64	الخصائص الالكترونية.....	3.IV
65	عصابات الطاقة.....	1.3.IV
69	كثافة الحالات الكلية والجزئية	2.3.IV
72	الخصائص المغناطيسية	4.IV
75	خلاصة عامة	
81	المراجع	

مقدمة عامة

لفيزياء المواد الصلبة أهمية تكنولوجية كبيرة، حيث طورت خصائص هذه المواد

لستعمل في العديد من المجالات. فعند استخدامنا للمواد الصلبة في الصناعة يجب علينا مراعاة

جودة الخصائص البنوية والالكترونية والميكانيكية والبصرية ... الخ.

من بين هذه المواد أنصاف المعادن المغناطيسية (Half-metallic magnets)، حيث

جذبت الكثير من الاهتمام في العقود الماضيين بسبب إمكانية تطبيقها في مجال السبيبن

الالكتروني والالكترونيات المغناطيسية (spintronics/magnetoelectronics) [1, 2].

بالإضافة إلى مزاياها المتعددة مثل زيادة سرعة معالجة البيانات، انخفاض استهلاك الطاقة

الكهربائية ونقليتها الكهربائية الفائقة [3-5]. المواد نصف المعدنية من ناحية بنية عصابات

الطاقة تملك عصابتي طاقة مختلفتين تمامًا عند مستوى فارمي E_F . عصابة سبين أعلى تظهر

سلوك معدني مثالي، أما عصابة سبين أدنى في ظهر سلوك نصف ناقل مع وجود فجوة طاقة عند

مستوى فارمي. هذا المانع الطاقوي أدى إلى وجود استقطاب سبيني 100% عند مستوى فارمي،

هذا الاستقطاب الكلي يزيد من كفاءة أجهزة الالكترونيات المغناطيسية [6, 7].

من بين المواد نصف المعدنية بعض مركبات هسلر التي اكتشفت في 1903 من طرف

فريديريك هسلر [8]، حيث تتضمن هذه الاخيره عدد ضخم من المركبات المغناطيسية التي تظهر

مختلف الظواهر المغناطيسية مثل المغزلة الحديدية، ضد المغزلة الحديدية [9-16]. أول

مركبات هسلر التي تم دراستها، ذات بنية بلورية من الشكل L_2 أي تتكون من 4 شبكات فرعية

ذات بنية مكعبه مركزه الوجه fcc sublattices (4 fcc). ثم اكتشف بعد ذلك أنه من الممكن

ترك واحدة من الشبكات الفرعية الأربع غير مشغولة (بنيتها البلورية C1_b) تسمى هذه المركبات مركبات نصف هسلر (semi-Heuslers) أو مركبات هسلر البسيطة لها صيغة كيميائية بسيطة من الشكل XYZ ، في حين المركبات ذات البنية L2₁ معروفة باسم مركبات هسلر الكاملة لها صيغة كيميائية من الشكل X₂YZ ، حيث X و Y من المعادن الانتقالية أما Z من عناصر المجموعة sp. كما يوجد نوع آخر من مركبات هسلر الكاملة هو مركبات هسلر الرباعية (Full-Heuslers)، LiMgPdSn-type (Quaternary Heuslers) ، بنيتها البلورية من الشكل F-43m [17،18]. صيغتها الكيميائية من الشكل لها زمرة تناظر فضائية من الشكل F-43m [17،18]. صيغتها الكيميائية من الشكل (XX')YZ ، حيث X' و Y من المعادن الانتقالية أما Z من عناصر المجموعة sp، إضافة إلى ذلك تكافؤ العنصر X' أقل من تكافؤ X و تكافؤ العنصر Y أقل من تكافؤ كل من X و X' [19].

من بين مركبات هسلر البسيطة التي تم دراستها أولاً وكانت الأكثر شهرة NiMnSb [20] حيث في عام 1983، أظهر دي غروت ومعاونوه [21] باستخدام المبادئ الأولى لحسابات البنية الإلكترونية أن هذا المركب هو في الواقع نصف معدني، أي عصابة الطاقة لسبعين أسفل تظهر سلوك نصف ناقل مع وجود فاصل طاقوي على مستوى فيرمي E_F، مما أدى إلى استقطاب سبياني 100% حول مستوى فلومي (spin polarization).

تعد مركبات هسلر الكاملة أول من تم دراسة خصائصها المغناطيسية [22-24]. حيث درس كوبيلر ومعاونيه آليات استقرار المغفرطة الحديدية ضد المغفرطة الحديدية لهذه المركبات

[25]. وكان أول من اكتشف وجود خاصية نصف معدن في مركبات هسلر الكاملة فريق بحث

ياباني أثناء دراسة المركبين CO_2MnZ , حيث Z يمثل Si و Ge [26-28].

في هذه الأطروحة قمنا بدراسة الخصائص البنوية، الإلكترونية والمغناطيسية للمركبين

$\text{CoMnTa}(\text{Si}, \text{Ge})$ ، فاستخدمنا طريقة الموجة المستوية المتزايدة خطياً والكمون الكامل

[29] والتي تكون مبنية على كمون (MT) أو ما يسمى كمون خلية النحل، الذي

يأخذ دالة موجة إلكترونات الحالة القلبية على شكل دالة شعاعيه وإلكترونات الحالة البنوية دالة

موجة مستوية، معأخذ تقرير دالة الحالة النسبية، والذي يعتبر أ ن سرعة الإلكترونات تكون

قريبة من سرعة الضوء، هذه الطريقة أدمجت في برنامج Wien2K [30].

تم إجراء هذه الحسابات في إطار نظرية دالية الكثافة الإلكترونية (DFT) حيث أنه

لحساب كمون تبا دل – إرتباط استخدمنا التقريريات التالية :

- تقرير التدرج المعمم (GGA) [31] بعد إجراء كل التقسيمات على منطقة بريلوين توخذ بعين

الاعتبار تدرج للكثافة الإلكترونية دون إهمال أي منطقة .

- تقرير U GGA+ [32] الهدف من هذا التقرير هو إعطاء نتائج جيدة خاصة في المركبات

التي تحوي في ذراتها المعادن الانتقالية أو العناصر الأرضية النادرة .

خطة عملنا المقدمة في هذا البحث هي كما يلي:

في الفصل الأولتناولنا نظرية دالية الكثافة (DFT)، بتقريراتها: تقرير كثافة

الموضع LSDA+ U ، تقرير التدرج المعمم GGA+ U . وفي الفصل

الثاني قمنا بعرض تفصيلي لـ طريقة الموجة المستوية المتزايدة خطيا (FP-LAPW) . وفي

الفصل الثالث نطرقنا إلى بعض أنواع مركبات هسلر وخصائصها الفيزيائية.

أما في الفصل الأخير تناولنا مختلف النتائج المتحصل عليها:

الخصائص البنوية: ثابت الشبكة ($a(\text{\AA})$), معامل الانطغاطية B والمشتقة الأولى لهذا المعامل B' .

الخصائص الإلكترونية: بنية عصابات الطاقة، كثافة الحالات الكلية وجزئية.

الخصائص المغناطيسية لهذه المركبات مع تحديد أصل العزم المغناطيسي.

وفي الأخير قدمنا خلاصة عامة لمختلف النتائج المتحصل عليها .

الفصل I

نظريّة دالّيّة الكثافة

Density functional theory

DFT

I- نظريّة دالّيّة الكثافة (DFT)

1- مقدمة:

تعتبر نظريّة دالّيّة الكثافة (DFT) من أهم النظريّات التي لاقت نجاحاً في دراسة الخصائص الفيزيائيّة للمواد. حيث يمكنها حساب خصائص الحالة الأساسيّة (ground-state) لتفاعل الإلكترونات (interacting electrons). يتم تطبيقها في الوقت الحاضر مثلاً في الفيزياء لحساب بنية عصابات الطاقة (band structure) للجسم الصلب (solids physics) وفي الكيمياء لحساب طاقة ربط الجزيء (binding energy of molecules). تزداد دراسة أنظمة الجسيمات تعقيداً كلما زاد عدد الذرات مثل البروتينات والأنابيب النانوية الكربونية. وقد تم تطبيق نظريّة دالّيّة الكثافة (DFT) على نطاقٍ واسعٍ في فيزياء المادة المكتففة. على وجه الخصوص، فقد كان ناجحاً بشكل ملحوظ في شرح الخصائص المغناطيسية للمعادن الانتقالية وبسائِكها.

إن الطرق التقليدية في حسابات البنية الإلكترونيّة، مثل نظرية هارتري-فوك تعتمد على دوال الموجة (wavefunction) المعقّدة لنظام كثير الإلكترونات، بينما تعتمد الفكرة الأساسيّة لنظرية دالّيّة الكثافة (DFT) على استبدال دالة الموجة الإلكترونيّة للعديد من الجسيمات-many (many-particle wavefunction) بالكثافة الإلكترونيّة (electronic density) $\rho(r)$ ككميّة أساسية (basic quantity). إن دوال الموجة الإلكترونيّة ترتبط بـ $3N$ متغير (أو $4N$ في حالة وجود السبيّن)، في حين نجد أن الكثافة $(r)\rho$ ليست سوى دالة لثلاث متغيرات ، كما تقال

من حسابات الحالة الأساسية (ground-state) لتفاعل الإلكترونات تماماً كحلول معادلة هارترى لجسيم منفرد، ولهذا نجد أن نظرية دالّيّة الكثافة (DFT) هي النهج الأكثر فائدة لنظام كثير الإلكترونات.

2.I معادلة شرودينغر للبلورة :

في منتصف العشرينيات من القرن الماضي استطاع شرودنجر نجز معادلته الشهيرة في ميكانيكا الكم وتدعى "معادلة شرودنجر" ، وهذه المعادلة تصف حالة الجسيم الكمي . وتنص على أن لكل جسيم دالة موجية مصاحبة له وهذه الدالة منتشرة لتملأ الفراغ الكوني كله وتكون هذه الدالة أقوى في مكان الجسيم وتضعف كلما ابتعدنا عنه. ويسمى النموذج الذري الذي يعامل الإلكترونات على أنها موجات بالنموذج الموجي الميكانيكي للذرّة أو النموذج الميكانيكي الكمي للذرّة، و يحدد النموذج الميكانيكي الكمي طاقة الإلكترون بقيم معينة. إن حل معادلة شرودنجر عبارة عن دالة موجية، ترتبط مع احتمال وجود الإلكترون ضمن حجم معين من الفراغ حول النواة، حيث تتتبّأ دالة الموجة بمنطقة ثلاثة الأبعاد للإلكترون حول النواة تسمى المجال، وهو يصف الموقع المحتمل لوجود إلكترون.

إذن فمعادلة شرودينغر هي منطلق كل الدراسات الكمية للنظام الكوازي للبلورات ، يوصف نظام الجسيمات (أيونات + الكترونات) المتفاعلة بلالمعادلة التالية :

$$H\psi = E\psi \quad (1.I)$$

H يمثل الهاamilتونيان ،

Ψ دالة الموجة ،

E طاقة النظام .

الهاamilتونيان الكلي للجملة يكون مُؤلف من الطاقة الحركية لكل الجسيمات و طاقة التفاعل فيما

بينها و عند الإقتضاء طاقة التفاعل مع الوسط الخارجي، عند غياب الحقل الخارجي الهاamilتونيان

يكتب:

$$H = T_e + T_N + V_{ee} + V_{eN} + V_{NN} \quad (2. I)$$

حيث:

$$T_e = \sum_i \frac{P_i^2}{2m_i} = \sum -\frac{\hbar^2}{2m} (\nabla_i) \quad \text{طاقة الحركية لالكترونات،}$$

$$T_N = \sum_\alpha \frac{P_\alpha^2}{2M_\alpha} = \sum -\frac{\hbar^2}{2M} (\nabla_\alpha) \quad \text{طاقة الحركية للأنيون،}$$

$$V_{ee} = \sum_{i,j \neq i} \frac{1}{4\pi\epsilon_0} \cdot \frac{1}{2} \left(\frac{e^2}{|r_\alpha - r_j|} \right) \quad \text{طاقة تفاعل إلكترون-إلكترون،}$$

$$V_{eN} = \frac{1}{4\pi\epsilon_0} \sum_{i,\alpha} -\frac{e^2 Ze}{|r_i - R_\alpha|} \quad \text{طاقة تفاعل إلكترون-نواة،}$$

$$V_{NN} = \frac{1}{4\pi\epsilon_0} \frac{1}{2} \sum_{\alpha,\beta} \frac{e^2 Z_\alpha Z_\beta}{|R_\alpha - R_\beta|} \quad \text{طاقة تفاعل نواة-نواة،}$$

المعاملات i و j خاصة بالإلكترونات،

المعاملات α و β خاصة بالأنوية،

كتل الإلكترونات و الأنوية على الترتيب، M, m

شحنة الأنوية، $Z_\alpha e$

المسافة بين النواتين α و β ، $|R_\alpha - R_\beta|$

المسافة بين النواة α والإلكترون i ، $|r_i - R_\alpha|$

المسافة بين الإلكترونين زو i ، $|r_i - r_j|$

$$\nabla_i^2 = \frac{\partial^2}{\partial x^2} + \frac{\partial^2}{\partial y^2} + \frac{\partial^2}{\partial z^2} \quad \text{مؤثر لابلاس.}$$

في حالة السكون معادلة شرودينغر تكون مستقلة عن الزمن وتعطى بالعلاقة التالية:

$$H\psi(r, R) = E\psi(r, R) \quad (3.I)$$

بحيث يمثل ψ دالة الموجة و تتعلق بكل موضع الجسيمات (إلكترونات + أنوية)، E تمثل القيمة

الذاتية الموافقة .

معادلة شرودينغر له N ذرة تحوي N متجدد، مثلاً عندما $Z=14$ في 1 سم^3 يصبح

لدينا 2.10^{24} مجهول تقريباً، أي أن معادلة شرودينغر بهذه الكيفية مستحيلة الحل ، لذلك وضعنا

عدت تقريرات لتبسيط هذه المعادلة ذكر منها:

3.I التقرير الأدبياتي (بورن- أوبنهيم) :

يعتمد هذا التقرير على فصل حركة الالكترونات عن الأنوية ، والذي يأخذ بعين الاعتبار الاختلاف الكبير بين كتلة الالكترونات و كتل الأنوية، حيث أن كتلة الإلكترون أقل بكثير من كتلة النواة في حين أن سرعة الإلكترونات أكبر بكثير من سرعة النواة [33].

معناه إهمال الطاقة الحركية للنواة بحيث تعتبر ساكنة أمام الإلكترونات و يؤخذ حد تفاعل الأنوية

فيما بينها ثابت أي : $T_N = 0$ ، $V_{NN} = cte$

أي يصبح الهميلتونيان الكلي للجملة مؤلف من هامiltonيان الكتروني و hamiltonian نووي على

الشكل :

$$H = V_{NN} + H_e \quad (4. I)$$

حيث

$$H_e = T_e + V_{ee} + V_{eN} \quad (5. I)$$

ويسمى H_e بهامiltonian الالكترونات .

إذن معادلة شرودينغر للإلكترونات هي:

$$H_e \psi_e(r, R) = [T_e + V_{ee} + V_{eN}] \psi_e(r, R) \quad (6. I)$$

هذه المسألة الأخيرة لا يمكن حلها بالطرق الرياضية المعروفة لذلك نستخدم تقرير آخر يسمى تقرير هرتري- فوك.

I. 4. تقرّيب هارترى- فوك:

يعتمد تقرّيب هارترى [34]، على نموذج الإلكترون المستقل أي أن كل الإلكترون يتحرك منفرد في الحقل المتوسط المتولد عن الأنوية وبقى الإلكترونات الأخرى، أي تتغيّر الجملة لدينا من عدد كبير من الإلكترونات إلى إلكترون وحيد، وبالتالي يكتب الهايبرونيان للجملة بـ:

$$H = \sum_i H_i \quad (7. I)$$

حيث:

$$H_i = \frac{-\hbar^2}{2m} \Delta_i + U_i(r_i) + V_i(r_i) \quad (8. I)$$

$$U_i(r_i) = -\sum_k \frac{Z_k e^2}{4\pi |r_i - R_k^0|} \quad \text{تمثّل الطاقة الكامنة للإلكترون } i \text{ في حقل الأنوية } K ,$$

R_k^0 يمثّل موضع الأنوية،

$$V_i(r_i) = -\frac{1}{2} \sum_j \frac{e^2}{4\pi\epsilon_0 |r_i - r_j|} \quad \text{يمثّل الكمون الفعال لهرترى.}$$

وتتصبّح المعادلة (8. I) على النحو التالي:

$$H_i = -\frac{\hbar^2}{2m} \Delta_i + V(r) \quad (9. I)$$

ينكتب دالة الموجة الكلية للجملة كجداء دوال الحالة لكل الإلكترونات على الشكل :

$$\Psi(r_1, r_2, \dots) = \prod_{i=1}^N \Psi_i(r_i) \quad (10. I)$$

و تكتب الطاقة الكلية للجملة كمجموع الطاقات الموافقة لكل حالة الكترونية:

$$E = \sum E_i \quad (11. I)$$

إذن معادلة شرودينغر للإلكترونات تصبح :

$$\left[-\frac{1}{2} \frac{\hbar^2}{m} \Delta_i + U_i(r_i) + V_i(r_i) \right] \psi_i(r) = \varepsilon_i \psi_i(r) \quad (12. I)$$

حسن فوك [35]، تقريب هرتزي وذلك بـ داخل مبدأ السبيبن لنظام الالكترونات بحيث توجد $N!$

احتمال لوضع N إلكترون على N موضع . $\vec{r}_1, \vec{r}_2, \dots, \vec{r}_N$

متلأً أول إمكانية هي:

$$\psi_1(r_1) \psi_2(r_2) \psi_3(r_3) \dots \psi_N(r_N) \quad (13. I)$$

وثاني إمكانية هي:

$$\psi_1(r_1) \psi_3(r_2) \psi_2(r_3) \dots \psi_N(r_N) \quad (14. I)$$

عند تطبيق كل التبديلات نحصل على $N!$ حد لنفس النوع .

دالة الموجة هي مجموع كل الحدود مع الأخذ بعين الإعتبار الإشارتين (+) و (-) لتصبح بشكل

محدد يدعى محدد سلتر.

$$\psi(r_1, r_2, \dots, r_N) = \frac{1}{\sqrt{N!}} \begin{vmatrix} \psi_1(r_1) & \dots & \psi_N(r_1) \\ \psi_1(r_N) & \dots & \psi_N(r_N) \end{vmatrix} \quad (15. I)$$

و المعامل $\frac{1}{\sqrt{N!}}$ هو ثابت التعامد.

هذا التقرّيب يعتمد على نموذج الالكترونات الحرّة، فهو يستخدم على نطاق واسع في كيمياء الكم

لدراسة الذرات والجزيئات، إلا أنّه أقل دقة في حساب الخصائص الفيزيائية للجسم الصلب، ولذلك

جاءت نظرية دالّيّة الكثافة DFT .

I.5. نظرية دالّيّة الكثافة DFT

يمكن التعبير عن طاقة النّظام الإلكتروني بواسطة نظرية دالّيّة الكثافة DFT وتكمّن

الفكرة الرئيسيّة لها في التخلّي عن استعمال الدوال الموجيّة واستبدالها بدالة الكثافة الإلكترونيّة

الّتي يمكن قياسها عملياً و الدافع وراء هذا هو تقليل عدد المتغيرات التي تدخل في الحساب أي أنه

يمكن التعبير عن طاقة النّظام الكلية E بواسطة الكثافة الإلكترونيّة $(r)\rho$ ، و التي تكون كدالة

للإحداثيات (x, y, z)

أي تكتب الطاقة الكلية E لنظام الالكترونات بالشكل:

$$E = E(\rho) \quad (16.I)$$

I.5.1. نظرية توماس- فارمي:

في 1927 توماس- فارمي صاغا الطاقة الكلية لغاز الالكترونات اللامتجانسة كدالة لكثافة

الالكترونات المعروفة لغاز متجانس [36,37]، و ذلك بإجراء عدة تقسيمات عنصرية على

منطقة بريلوين، حيث أنه عند آخر تقسيم تعتبر الكثافة الإلكترونيّة ثابتة في كل منطقة من مناطق

بريلوين المقسمة.

إذن تكتب الطاقة الكلية E للنظام على الشكل:

$$E = \int \varepsilon_i [\rho(r)] dr \quad (17.I)$$

تعطى كثافة غاز متجانس بـ:

$$\rho = \frac{1}{3\pi^2} \left(\frac{2m_e}{h^2} \right)^{\frac{2}{3}} E_f^{\frac{3}{2}} \quad (18.I)$$

الطاقة الحركية لغاز متجانس هي:

$$T = \frac{3}{5} \rho E_f \quad (19.I)$$

من المعادلتين (18.I) و (19.I) نجد:

$$T = \frac{3}{5} \frac{h^2}{2m_e} (3\pi^2)^{\frac{2}{3}} \rho^{\frac{5}{3}} \quad \text{و} \quad E_f = \frac{\rho^{\frac{3}{2}}}{\frac{2m_e}{h^2}} (3\pi^2)^{\frac{2}{3}} \quad (20.I)$$

الطاقة الحركية لتوomas- فارمي هي:

$$T_{TF} = \int T dr \Rightarrow T_{TF} = \frac{3}{5} \frac{h^2}{2m_e} (3\pi^2) \int \rho^{\frac{3}{5}} dr \quad (21.I)$$

نظريّة توماس- فارمي هي تقرّيب موضعي لكثافة الإلكترونات لا يأخذ بعين الاعتبار

ارتباط الإلكترونات، إذن الطاقة الكلية لنظام الإلكترونات في تقرّيب توماس- فارمي تأخذ الشكل

: التالي

$$E_{TF} = \frac{3}{5} \frac{h^2}{2m_e} (3\pi^2)^{\frac{2}{3}} \int \rho^{\frac{5}{3}} dr + \int V(r) \rho(r) dr + \frac{1}{2} \int \frac{\rho(r) \rho(r')}{|r - r'|} dr dr' \quad (22.I)$$

كما أجريت بعض التحسينات لهذه النظريّة :

أولاً- فعل التبادل المقترن من طرف ديراك :

$$E_{TFD} = E_{TF} - C_x \int \rho^{\frac{4}{3}} dr \quad (23.I)$$

ثانيًا- فعل الإرتباط المقترن من طرف فيغنز :

$$E_c[\rho] = -\frac{0.056\rho^{\frac{4}{3}}}{0.079 + \rho^{\frac{1}{3}}} \quad (24.I)$$

نعود لنذكر أن تقريب توماس- فارمي هو تقريب موضعي لكتافة الإلكترونات.

2.5.I نظرية هوهنجارغ- كوهن:

أخذنا هوهنجارغ- كوهن [38]، الطاقة الكلية لنظام الإلكترونات المتفاعلة في كمون خارجي

(كمون الأنوية) لدالّيّة وحيدة لكتافة الإلكترونات (r) ρ أي :

$$E = E(\rho) \quad (25.I)$$

حيث قاما ببرهان أن الكثافة التي تعطي الحد الأدنى هي كثافة الحالة الأساسية للجسيمات

بالضبط، وكل خصائص الحالة الأساسية هي دالّيّة لكتافة الإلكترونات كالتالي:

$$E(\rho_0) = \text{Min}E(\rho) \quad (26.I)$$

بحيث يعبر عن دالّيّة الطاقة بـ :

$$E(\rho) = \langle \Psi | H | \Psi \rangle \quad (27.I)$$

ودالّيّة كثافة الحد الأدنى بـ :

$$F_{H,k}(\rho) = \langle \Psi | T + U | \Psi \rangle \quad (28.I)$$

حيث T, U يمثلان كمّون التفّاعل والطاقة الحركية للإلكترونات على الترتيب.

باستخدام تقرّيب هرتربي نجد :

$$F_{H,K}(\rho) = \frac{1}{2} \iint 2 \frac{\rho(r)\rho(r')}{|r-r'|} dr dr' + G(\rho) \quad (29.I)$$

$$= F_{H,k}(\rho) + \int V_{ext}(r)\rho(r)dr$$

حيث $G(\rho)$ تمثل الطاقة الحركية للإلكترونات زائد الفرق بين طاقة التفّاعل الحقيقية وطاقة

تفّاعل هرتربي، كما أثبت هوهنجارغ- كوهن أن كثافة الحالة الأساسية هي كثافة الحد الأدنى

$$\cdot F_{HK}$$

3.5.I معادلة كوهن- شام:

في 1965 كوهن- شام [39] برهن أن كثافة الإلكترونات هي مجموع كثافة الجسيمات مع

استخدام مبدأ التغيير للحصول على طاقة الحالة الأساسية ، بحيث تعطى كثافة احتمال تواجد

الإلكترون ب :

$$\rho(r) = \sum \Psi_i^*(r)\Psi_i(r) \quad (30.I)$$

دالّيّة الطاقة الكلية للإلكترونات $E_{H,F}(\rho)$ و $E_e(\rho)$ طاقة هرتربي- فوك تعطى ب :

$$E_e = T + V \quad (31.I)$$

$$E_{H,F} = T_0 + (V_H + V_x) \quad (32.I)$$

حيث T الطاقة الحركيّة للجسيمات في حالة التفاعل.

V لكمون التفاعل إلكترون-إلكترون.

V_H لكمون هرتزي.

T_0 الطاقة الحركيّة للإلكترونات الحرة.

V_x لكمون تبادل الإلكترونات والذي يعرف بـ:

$V_c = T - T_0$ لكمون ارتباط الإلكترونات والذي يعرف بـ:

إذن دالية كثافة الحد الأدنى $F_{H,k}$ هي:

$$F_{H,K} = T + V$$

$$= T_0 + V_H + (V_x + V_C) \quad (33.I)$$

$V_{xc} = V_x + V_c$ هو لكمون تبادل-ارتباط.

أي دالية الطاقة الكلية للنظام هي:

$$E(\rho) = T_0(\rho) + V_H + V_{xc} + V_{ext}(\rho) \quad (34.I)$$

معادلة كوهن-شام هي:

$$(T + V_{ei}(r) + V_H(r) + V_{xc}(r))\phi_i(r) = \varepsilon_i\phi_i(r) \quad (35.I)$$

4.5.I . حلول معادلة كوهن-شام :

ترتكز مختلف طرق حساب بنية عصابات الطاقة مبدئياً على نظرية دالية الكثافة DFT

و ترتب حسب استخدامها للكثافة والكمون ومدارات كوهن-شام [40]، ومن بين هذه الطرق

طريقة الموجة المستوية المتزايدة خطياً والكمون الكامل FP-LAPW التي تعتمد على مدارات

كوهن-شام، حيث تكون دالة الموجة الأساسية كالتالي :

$$\Psi_i(r) = \sum C_{i\alpha} \phi_\alpha(r) \quad (36.I)$$

حيث أن $C_{i\alpha}$ هي معاملات النشر لهالة الموجة.

عملياً لحساب المعاملات $C_{i\alpha}$ يجب حل المعادلات الأساسية بطريقة ال خوارزمية الممثلة في

الشكل(1.I) بحيث تؤخذ طاقة النظام أصغريه:

حلول معادلة كوهن-شام هي :

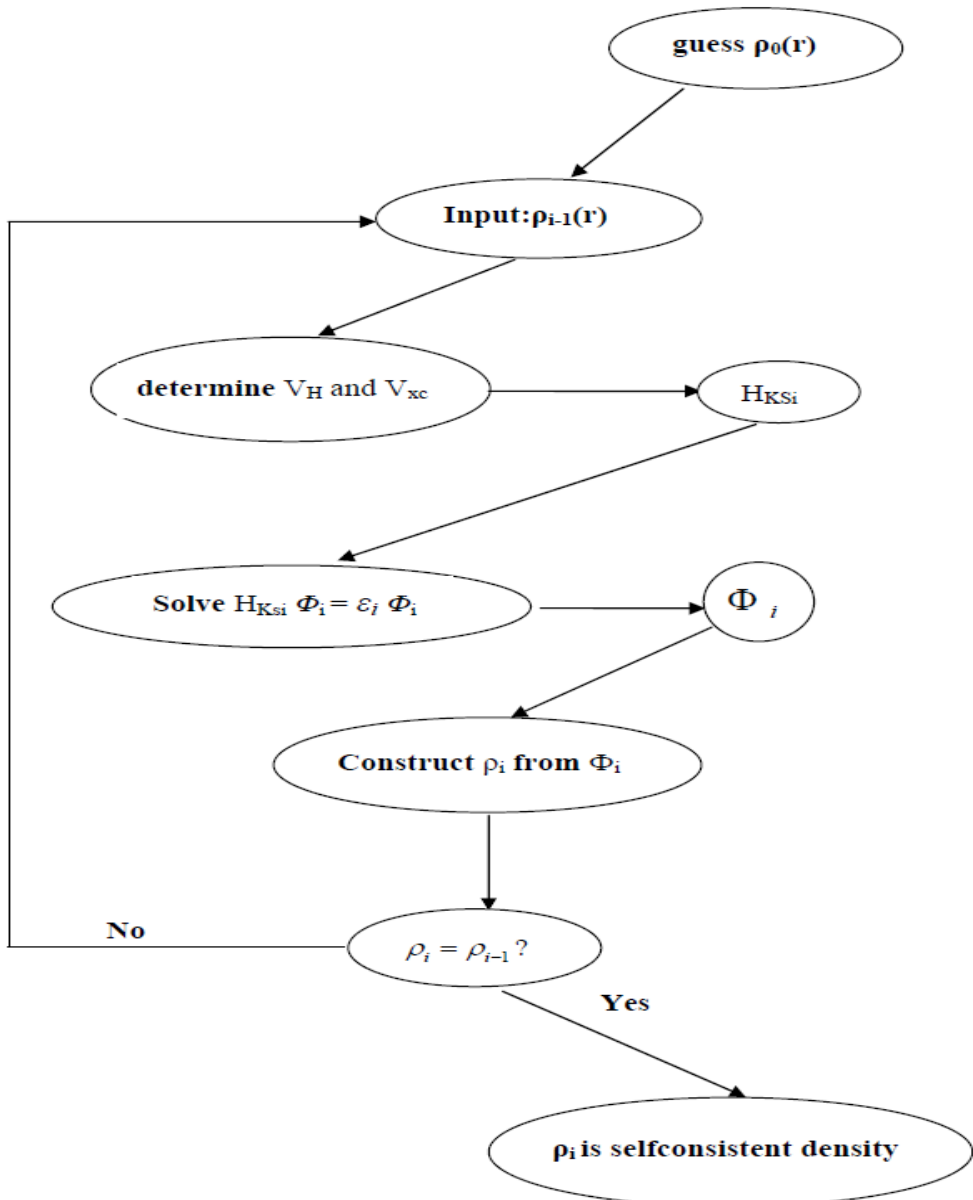
$$(H - \varepsilon_i O) C_i = 0 \quad (37.I)$$

H همiltonian كوهن-شام،

O مصفوفة التغطية،

ε_i قيم الطاقة،

C_i معاملات النشر لهالة الموجة.



الشكل (1.I): مخطط حلول معادلة كوهن-شام.

5.5.I : تقریب کثافة الموضع LDA

تقریب کثافة الموضع ه سو تقریب لنظام الالکترونات الامتجانس باعتباره موضعیا متجانس

: [41]، بحيث تعطی طاقة تبادل-إرتباط في هذا التقریب بـ :

$$E_{xc}^{LDA}(\rho) = \int \rho(r) \varepsilon_{xc}(\rho(r)) dr^3 \quad (38.I)$$

و باستخدام مبدأ سبين تكتب طاقة تبادل-ارتباط بـ :

$$E_{xc}^{LSDA}(\rho \uparrow, \rho \downarrow) = \int \rho(r) \varepsilon_{xc}(\rho \uparrow(r), \rho \downarrow(r)) dr^3 \quad (39.I)$$

مع العلم أن طاقة تبادل-ارتباط تقسم إلى قسمين.

$$\varepsilon_{xc}(\rho) = \varepsilon_x(\rho) + \varepsilon_c(\rho) \quad (40.I)$$

باستخدام الوحدات الذرية و ذلك $\varepsilon_x = -0.4582/r_s$ طاقة تبادل هي :

$$\rho = (4\pi r_s^3/3)^{-1}$$

$$\varepsilon_c = \frac{-0.44}{r_s + 7.8} \quad \text{طاقة ارتباط هي :}$$

ولحساب كثافة الإلكترونات يتم الجمع على كل المدارات المشغولة أي :

$$\rho(r) = \sum \Psi_i^*(r) \Psi_i(r) \quad (41.I)$$

6.5.I: GGA تقرير التدرج المعمم

تصحيحات LDA المستخدم حالياً أخذت بعين الاعتبار تغير كثافة الإلكترونات (r) ρ عبر

تدرج $\nabla \rho(r)$ [42، 31]، أي أن النتيجة المحصل عليها في تقرير كثافة الموضع $L(S)DA$

نعيد ترجمتها كسلسلة لمنشور تايلور في تقرير التدرج المعمم $.L(S)DA$

إذن : طاقة تبادل- إرتباط في تقرّيب التدرج المعمم تأخذ الشكل التالي :

$$E_{xc}^{GGA}(\rho \uparrow(r), \rho \downarrow(r)) = \int f(\rho \uparrow, \rho \downarrow, \nabla \rho \uparrow, \nabla \rho \downarrow) dr^3 \quad (42.I)$$

$\nabla \rho(r)$ يعبر عن تدرج الكثافة الإلكترونيّة .

7.5.I : تقرّيب LSDA+U

في كثير من الأنظمة التي تحوي المعادن الانتقالية أو العناصر الأرضية النادرة المعدنية، أثبت

عدم نجاح تقرّيب LSDA في وصف الخصائص الإلكترونيّة، تقرّيب LSDA+U نجح في

وصف و معالجة الأنظمة الإلكترونيّة في حالة الترتيبات الخطية الطويلة.

كما تم وبنجاح معالجة وتحديد بعض الخصائص مثل المانع الطاقي، العزم المغناطيسي و معامل

التأثير المتبادل بين الذرات [43].

هذه التقرّيب يرتكز بالعمل على نظائر مفصليّن:

النظام الأول يركز على مساهمة السويان الطاقيان $d-d$ و التفاعل الكولومبي بين المدارت f,d

الموصوفة في نموذج هيبارد[44]، والمعرفة بالحد: $\frac{1}{2} U \sum_{i \neq j} n_i n_j$ ، أما النظام الثاني يركز على

مساهمة الإلكترونات المستقلة للمدارين s,p و الموصوفة في نموذج المدارات المستقلة كمون

الإلكترون المنفرد. وتعطى دالية الطاقة الكلية بـ:

$$E^{LSDA+U} = E^{LDA} - UN(N-1)/2 + \frac{1}{2} U \sum_{i \neq j} n_i n_j \quad (43.I)$$

الحد الأول يصف الكترونات السويان p, s و المحصلة عنها في LDA, الحد الثاني يصف التصحيحات في التفاعل الكولومبي للمدارات $d-d$ و المعلنة في نموذج هيبارد, هو التفاعل بين النظامين.

n_i الكترونات السوي الطافي d .

U يمثل طاقة الفصل بين مدارات السفلية و العلوية لـ هيبارد .

8.5.I : GGA+ U تقرير

تقريبات U DFT+ موضوعة أساسا لمعالجة الأنظمة التي تحوي المعادن الانتقالية أو العناصر الأرضية النادرة[32]، أي بمعنى الأنظمة المحتواة التفاعل الكولومبي بين مدارات d و f وذلك بالإضافة حد هيبارد وتعطى الطاقة بـ:

$$E^{GGA+U} = E^{GGA} + \left(\frac{\bar{U}}{2} - \frac{\bar{J}}{2} \right) \sum_{\sigma} \left[\left(\sum_m n_{m,m}^{\sigma} \right) - \left(\sum_{m,m'} n_{m,m'}^{\sigma}, n_{m',m}^{\sigma} \right) \right] \quad (44.I)$$

\bar{U} و \bar{J} هما مقلوب العناصر المصفوفية لتفاعل الكولومبي

n المصفوفة الخاصة بالمدارات المشغولة لسوي الطافي $3d$

m أو m' تأخذ القيم $-2, -1, 0, 1, 2$ تشير لمختلف المدارات d و $\sigma=1$ و $\sigma=-1$ تشير إلى حالات السبين.

الفصل II

طريقة الأمواج المستوية

المتزايدة خطيا

و

الكمون الكامل

FP-LAPW

الفصل II

طريقة الأمواج المستوية المتزايدة خطيا و الكمون الكامل

1.II . مقدمة :

هناك عدة طرق تستعمل في إيجاد خصائص الجسم الصلب تعتمد على نظرية دالية الكثافة، هذه الطرق تختلف في تمثيل الكمون و كثافة الشحنة للدواوين الموجية. و تختلف أيضا في كيفية معالجة الإلكترونات فهي تقسم الحالات الإلكترونية إلى قسمين :الإلكترونات القلبية القريبة من النواة، أي شديدة الارتباط والكترونات التكافؤ. فمهما كان التقرير المستعمل فإنه يتم معالجة الحالتين بشكل منفصل. إن معظم الخصائص الفيزيائية والكيميائية للمواد تتعلق بشكل كبير بالكترونات التكافؤ أكثر منها من الإلكترونات القلبية، حيث أن هذه الأخيرة لا تشارك بشكل مباشر في الروابط الكيميائية. ومن بين الطرق التي تعتمد على إهمال الإلكترونات القلبية طريقة الكمون الكاذب (méthode de pseudopotentiel) .

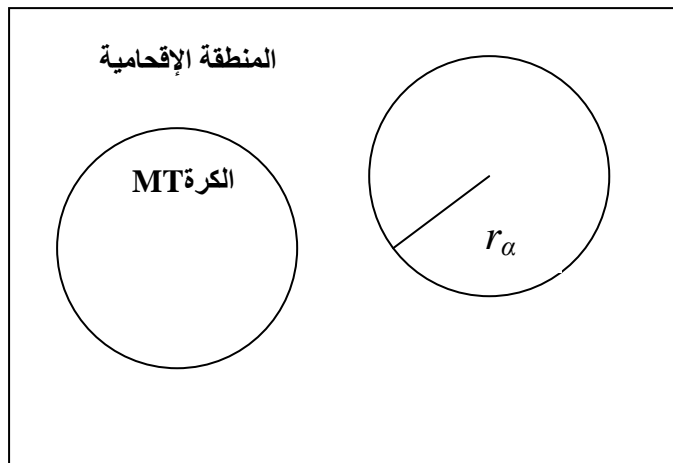
أما طريقة كمون كل الإلكترونات (méthode tous électrons) فإنها تأخذ بعين الاعتبار الإلكترونات القلبية أثناء الحساب حيث تتم مساهمتها ك孿ون فعال، حيث استخدمناها مع طريقة الأمواج المستوية المتزايدة خطيا، وتسمى هذه الطريقة بطريقة الأمواج المستوية المتزايدة خطيا و الكمون الكامل FP- LAPW .[44]

2.II . طريقة الأمواج المستوية المتزايدة خطيا APW :

في 1937 م نشر سلفر [29] طريقة الموجة المستوية المتزايدة APW ، حيث قام بكتابه دالة موجة

الإلكترونات على شكل دالة الإلكترونات الخاصة بكمون $M.T$ أو ما يسمى كمون (خلية النحل)، و الذي

يقسم الفضاء المحيط بالذرات إلى منطقتين الشكل (1.II):



شكل (1.II): شكل كمون $M.T$

المنطقة الأولى داخل كرة $M.T$ تشمل كل من الأنوية و الإلكترونات شديدة الارتباط بها.

المنطقة الثانية المنطقة البينية التي تحيط بالكرات، وتشمل الإلكترونات ضعيفة الارتباط بالأنيون.

حيث r_α يمثل نصف قطر كرة $M.T$.

و تعطى دوال الموجة بالعلاقة:

$$\phi(r) = \begin{cases} \frac{1}{\Omega^{1/2}} \sum_G C_G e^{i(G+K)r} & r > r_\alpha \\ \sum_{lm} A_{lm} U_l(r) Y_{lm}(r) & r < r_\alpha \end{cases} \quad (1.II)$$

أين:

Ω يمثل حجم الخلية الموحدة.

Y_{lm} الدالة الهرمونية (النواقبية) الكروية.

معاملات النشر C_G .

وحلول معادلة شرودينغر تكون:

-أولاً: حلول شعاعية داخل الكرة M.T.

-ثانياً: موجة مستوية في المنطقة البيرنة.

في حين أن $(r)U_l$ هي الحلول المنتظمة لمعادلة شرودينغر للجزء الشعاعي الذي يكتب :

$$\left\{ -\frac{d^2}{dr^2} + \frac{l(l+1)}{r^2} + V(r) - E_l \right\} r U_l(r) = 0 \quad (2.II)$$

$V(r)$ يمثل الجزء الخاص بالكمون الكروي و E_l تمثل الطاقة الخطية، في حين أن الدالة الشعاعية

المعرفة في العلاقة (2.II) تكون معامدة لكل الحالات الذاتية القلبية، تنتهي شروط التعامد عند حدود

كرة M.T من أجل الدوال الشعاعية U_1 و U_2 الموافقة للفيقي الذاتية E_1 و E_2 تصبح معادلة شرودينغر

كالتالي:

$$(E_1 - E_2)r U_1 U_2 = U_2 \frac{d^2 r U_1}{d^2 r} - U_1 \frac{d^2 r U_2}{d^2 r} \quad (3.II)$$

ولضمان إستمرارية الدالة $(r)\phi$ على سطح الكرة M.T تنشر المعاملات A_{lm} بدلالة المعاملات

C_G الخاصة بالأمواج المستوية في المنطقة الإقحامية، المعاملات الطاقوية E_l تسمى معاملات التغير

في الطريقة APW بعد الحسابات الجبوية نحصل على:

$$A_{lm} = \frac{4\pi i^l}{\Omega^2 U_l(R_l)} \sum_G C_G j_l(|K + g|R_\alpha) Y_{lm}^*(K + G) \quad (3.II)$$

الدواال الذاتية المعرفة بـ G تصبح متوافقة مع الدوال الشعاعية في كرة $M.T$ وبالتالي نحصل على

دالة أساسية APW_s .

الدواال APW_s هي حلول معادلة شرودينغر داخل كرة $M.T$ الموافقة للطاقة E_l ، أي نحصل على

عصابة الطاقة الموافقة للمعامل G .

في الطريقة APW ظهرت مجموعة من الصعوبات خاصة في الدوال $U_{l\alpha}(r_\alpha)$ وذلك لأن في

حالة نقصان المعاملات A_{lm} تكون معروفة على سطح كرة $M.T$ وبالتالي الدوال الشعاعية

تكون منفصلة عن دوال الموجة المستوية في المنطقة البنية ، ولحل هذا المشكل أدخل كولينغ [45]

وأندرسون [44] مجموعة من التغييرات على طريقة الأمواج المستوية المتزايدة خطيا APW، حيث

ترتكز أساسا على تمثيل الدالة الشعاعية $(r) \phi$ خارج كرة $M.T$ بترتيبات خطية $(r) U_l$ مع إمتلاكها

مشتقات بالنسبة للطاقة $(r) \dot{U}_l$ ، سميت بطريقة الأمواج المستوية المتزايدة خطيا والكمون الكامل

. FP-LAPW

II . 3 . مبدأ طريقة الأمواج المستوية المتزايدة خطيا والكمون الكامل FP-LAPW :

في طريقة الأمواج المستوية المتزايدة خطيا والكمون الكامل FP-LAPW، الدالة الأساسية

داخل كرة $M.T$ تكون على شكل ترتيبات خطية للدالة الشعاعية $U_{l\alpha}(r)Y_{lm}(r)$ و تمتاز

باستناد $(r) \dot{U}_l(r)Y_{lm}(r)$ بالنسبة للطاقة، الدالة U_l تُعرف مثل دالة الطريقة APW ، و الدالة $(r) Y_{lm}(r)$

تحضى الشرط التالي :

$$\left\{ -\frac{d^2}{dr^2} + \frac{l(l+1)}{r^2} + V(r) - E_l \right\} r \dot{U}_l(r) = r U_l(r) \quad (4.II)$$

في حالة الانسبيّة الدوال أي $M.T$ و U_l مضمونة الاستمرارية على سطح كرة

استمرارية هذه الدوال مع الموجة المستوية في المنطقة البينية (خارج كرة $M.T$)، إذن دالة الموجة

المستوية المتزايدة ($LAPW_S$) تصبح دالة أساسية للطريقة : $FP-LAPW$

$$\phi(r) = \begin{cases} \frac{1}{\Omega^{\frac{1}{2}}} \sum_G C_G e^{i(G+K)r} & r \succ r_\alpha \\ \sum_{lm} \{ A_{lm} U_l(r) + B_{lm} \dot{U}_l(r) \} Y_{lm}(r) & r \prec r_\alpha \end{cases} \quad (5.II)$$

أين المعاملات B_{lm} الموافقة للدالة U_l لها نفس طبيعة المعاملات A_{lm} .

الدوال $LAPW_S$ تكون الموجة المستوية الوحيدة في المنطقة الإلزامية مثل حالة الطريقة APW ،

داخل كرة $M.T$ الدوال $LAPW_S$ أفضل من الدوال APW_S , باختلاف E_l قليلاً عن عصابة الطاقة

E الترتيبات الخطية تنتج أحسن دالة شعاعية APW_S و الدالة U_l يمكن أن تنشر على الدالة المشتقة

والطاقة E_l بالشكل :

$$U_l(E, r) = U_l(E_l, r) + (E - E_l) \dot{U}_l(E, r) + 0((E - E_l)^2) \quad (6.II)$$

أين $0(E - E_l)^2$ يمثل الخطأ الرباعي الطاقوي .

طريقة الأمواج المستوية المتزايدة خطياً والكمون الكامل $FP-LAPW$ تضمن استمرار دالة الموجة

على سطح كرة $M.T$

II. 4. دور الطاقات الخطية : E_l

الدوال U و \dot{U} متعامدتان مع الحالات القلبية بدقة متناهية على سطح كرة $M.T$ ، لكن هذه الشروط ليست كافية عندما تكون الحالات القلبية موافقة لنفس القيمة Z ، ومن جهة أخرى نجد أن الخلط بين الحالات نصف القلبية مع حالة التكافؤ غير معالج في الطريقة APW، إذن الدوال الغير معامدة لأي حالة من الحالات القلبية في طريقة FP-LAPW يلزم اختيار دقيق للطاقة E_l ، في هذه الحالة من غير الممكن إجراء الحسابات دون تغيير E_l ، أحسن حل يكون باستخدام النشر على مدارات الموضع فقط و يختار أكبر نصف قطر ممكناً لكرة $M.T$ مع العلم أن هذه الخاصية غير واردة في كل البرامج.

مع أنه يجب ملاحظة أن مختلف الطاقات الخطية E_l يجب أن تعرف على أنها مستقلة عن بعضها البعض. لإجراء حساب دقيق جداً للبنية الإلكترونية ، E_l يمكن أن تختار عصابة الطاقة الموافقة لنفس العصابة I .

II. 5. بنية الدوال الشعاعية:

الدوال الأساسية لطريقة الأمواج المستوية المتزايدة خطيا و الكمون الكامل تكون موجة مستوية في المنطقة البيرينية، و التي تنشر على شكل دالة شعاعية داخل كرة $M.T$ ، تحت شرط أن الدوال الأساسية لها اشتراق يكون مستمراً على سطح كرة $M.T$ فبنية الدوال الأساسية للطريقة FP-LAPW تصبح تحدد ب :

أولاً- دوال شعاعية $(r) U_l$ لها مشتقة بالنسبة للطاقة هي $(r) \dot{U}$.

ثانياً- المعاملات b_{lm}, a_{lm} تحقق الشروط الحدودية.

الشروط الحدودية تسمح بتحديد العزم الزاوي القطع L_{\max} ، الممثل للكرات في حدود معاملات

الأمواج المستوية، G_{\max} يمثل أكبر طول موجة في كرة M.T من أجل نصف قطر الكرة r_{α} ، من الملائم

اختار حدود القطع المغلق $CutOff$ بـ $r_{\alpha}G_{\max} = L_{\max}$ تقنيا التقارب مضمون في طريقة الأمواج

المستوية المتزايدة خطيا FP-LAPW إذا كان $r_{\alpha}G_{\max}$ يتغير بين 7 و 9.

6.II. الدوال الشعاعية اللانسبية:

في الحالة اللانسبية الدوال الشعاعية $(r)U_l$ تكون حلول معادلة شرودينغر التالية للكمون الكروي

و الطاقة الخطية E_l ، وتصبح معادلة شرودينغر على النحو التالي:

$$\left\{ -\frac{d^2}{dr^2} + \frac{l(l+1)}{r^2} + V(r) - E_l \right\} r U_l(r) = 0 \quad (7.II)$$

حيث $V(r)$ هو جزء الكمون الكروي لكرة $M.T$ في $L=0$. الشروط الحدودية مطبقة أي

$$. r U_l(0) = 0$$

الإشتاقاق بالنسبة للطاقة E_l هو:

$$\left\{ -\frac{d^2}{dr^2} + \frac{l(l+1)}{r^2} + V(r) - E_l \right\} r \dot{U}_l(r) = r U_l(r) \quad (8.II)$$

الحلول الشعاعية تصبح مقننة في كرة M.T:

$$\int_0^{R_{\alpha}} r^2 U_l^2(r) dr = 1 \quad (9.II)$$

حيث أن U_l هو حل متجانس للمعادلة (8.II) على شكل :

$$h_l \dot{U}_l - E \dot{U}_l = U_l \quad (10.II)$$

باستخدام شروط التقنيين (9.II) يتضح أن الدالة U_l و مشتقاتها تكونا متعامدتان.

$$\int_0^{R_\alpha} r^2 U_l(r) \dot{U}_l(r) dr = 0 \quad (11.II)$$

و الدالة \dot{U}_l تكون مفنة.

$$N_l \equiv \int_0^{R_\alpha} r^2 U_l^2(r) dr \quad (12.II)$$

شروط التقنيين في طريقة FP-LAPW يمكن تعويضها بالمعادلة التالية :

$$R_\alpha^2 (U'_\alpha(R_\alpha) \dot{U}_\alpha(R_\alpha) - U_l(R_\alpha) \dot{U}'_\alpha(R_\alpha)) = 1 \quad (13.II)$$

مع أن:

$$U_\alpha'(E, r) \equiv \frac{\partial U_l'(E, r)}{\partial r} \quad \text{و} \quad \dot{U}_l(E, r) \equiv \frac{\partial U_l(E, r)}{\partial E}$$

يمكن حلها المعادلة عدديا، الدوال U_l و \dot{U}_l من شروط التقنيين يمكن أن ننشر U_l على الشكل:

$$U_l(E + \delta) = U_l(E) + \delta \dot{U}(E) + \dots \quad (14.II)$$

مع هذا الاختيار، تقنين $(r) \dot{U}_l$ أي $\|U'(r)\|$ يشير لرتبة عرض الطاقة E_l الخطأ على الطاقة

الخطية يكون مقبول حسب أندرسن [44] عندما:

$$\|U'(r)\| |E_l - E| \leq 1$$

إذا كان هذا الاختيار غير ممكن، نلجم إلى:

- تقسيم المجال الطافي إلى نوافذ طاقة ويعالج كل نافذة طافية مفصولة، معأخذ طاقة كل حالة.
- نستخدم النشر على مواضع المدارات.

7.II. الدوال الشعاعية النسبية :

عندما تقترب سرعة الإلكترون من سرعة الضوء تُصحح الدالة الشعاعية اللانسبية إلى دالة شعاعية نسبية، بحيث أن التأثيرات النسبية تدخل في الحساب داخل الثورة $M.T$ و تهمل في المنطقة الإقحامية، التغيرات النسبية تعتمد أساساً بتعويض (8.II) و (9.II) في معادلة ديراك المكافئة [46] تقرئها عرض عدة علماء [46-49] لحل معادلة ديراك معأخذ الكمون كروي و إهمال في البداية تأثير فعل سبين- مدار و إدراجه فيما بعد.

هاميلتونيان ديراك يعطى بـ

$$H_D = C\alpha p + (\beta - 1)mc^2 + V(r) \quad (15.II)$$

α, β تأخذ الشكل المصفوفي التالي:

$$\alpha = \begin{bmatrix} 0 & \sigma \\ \sigma & 0 \end{bmatrix} \quad ; \quad \beta = \begin{bmatrix} 1 & 0 \\ 0 & -1 \end{bmatrix} \quad (16.II)$$

يكتب الشعاع الذاتي // لهامiltonian ديراك H_D كما يلي :

$$\Psi \begin{bmatrix} \phi \\ \chi \end{bmatrix} \quad (17.II)$$

حيث ϕ : تدعى المركبة الكبيرة للدالة الموجة و χ المركبة الصغيرة .

إذن معادلة شرودينغر تصبح:

$$c(\sigma p)\chi = (\varepsilon - V)\phi \quad (18.II)$$

$$c(\sigma p)\phi = (\varepsilon - V + 2mc^2)\chi \quad (19.II)$$

من المعادلتين (18.II) و (19.II) ينتج:

$$\frac{1}{2m}(\sigma p)(1 + \frac{\varepsilon - V}{2mc^2})^{-1}(\sigma p)\phi + V\phi = \varepsilon\phi \quad (20.II)$$

باستخدام التقريب:

$$(1 + \frac{\varepsilon - V}{2mc^2})^{-1} \approx 1 - \frac{\varepsilon - V}{2mc^2} \quad (21.II)$$

و مع العلاقة:

$$pV = Vp - i\hbar\nabla V \quad (22.II)$$

يتبّع:

$$(\sigma\nabla V)(\sigma p) = (\sigma\nabla p) + i\sigma[\nabla, p] \quad (23.II)$$

نعود لفحصل على معادلة تقاضلية تحقق الدالة ϕ :

$$(24.II)$$

$$\left[(1 - \frac{\varepsilon - V}{2mc^2}) \frac{p^2}{2m} - V \right] \phi - \frac{\hbar^2}{4m^2 c^2} (\nabla V \nabla \phi) + \frac{\hbar^2}{4m^2 c^2} (\sigma [\nabla V, p]) \phi = \varepsilon \phi$$

في حالة الكمون يقبل تناظر كروي:

$$\left[\frac{p^2}{2m} + V - \frac{p^4}{8m^3 c^2} - \frac{\hbar^2}{4m^2 c^2} \frac{dV}{dr} \frac{\partial}{\partial r} + \frac{1}{2m^2 c^2} \frac{1}{r} \frac{dV}{dr} (\vec{L} \cdot \vec{S}) \right] \phi = \varepsilon \phi \quad (25.II)$$

لما يكون الحد الأخير دالة ذاتية للعزم السبيين تكون حلول معادلة ديراك داخل كرة M.T هي :

$$\Psi_{kv} = \begin{bmatrix} g_k \chi_{kv} \\ -if_k \sigma_r \chi_{kv} \end{bmatrix} \quad (26.II)$$

في حين أن الدوال f_k و g_k تحقق المعادلة الشعاعية الآتية :

$$\frac{df_k}{dr} \equiv f'_k = \frac{1}{c}(V - E)g_k + \left(\frac{k-1}{r}\right)f_k \quad (27.II)$$

$$\frac{df_k}{dr} \equiv g'_k = -\frac{(k-1)}{r}g_k + 2Mc f_k \quad (28.II)$$

8.II. تحديد الكمونات:

الكمون المستخدم في م-عادلة كوهن-شام K.S يشتمل على حد تبادل-ارتباط و حد الكمون

الكوليبي ($V_c(r)$), حد الكمون الكوليبي هو مجتمع لكترون هرتزي ($[V_H(r)]$), و لكترون الزواة ($V_c(r)$) الذي

يحسب من معادلة بواسن من كثافة الشحن (إلكترونات وأنوبيه) :

$$\nabla^2 V_c(r) = 4\pi\rho(r) \quad (29.II)$$

لتكامل هذه المعادلة يكون فقط ممكن في فضاء الـ شريكة المعكوسه و طريقة الحل تسمى شبه-الشحنة

[51,50] و تتركز على ملاحظتين :

أولا- كثافة الشحنة مستمرة و تتغير ببطئ في المنطقة الإقحامية و سريعة جدا داخل الكرة.

ثانيا- الكمون الكوليبي في المنطقة الإقحامية متعلق مرة بالشحنة الإقحامية و متعددة الشحن داخل الكرة.

في المنطقة الإقحامية كثافة الشحن تنشر كسلسلة فورييه :

$$\rho(r) = \sum_G \rho(G) e^{iGr} \quad (30.II)$$

دوال الموجة $e^{iG.r}$ تحسب انطلاقا من معادلة باسل J_e

$$\int_0^R r^{l+2} J_l(G.r) d\vec{r} = \begin{cases} R^{l+3} \frac{J_l(G.r)}{Gr} & G \neq 0 \\ \frac{R^3}{3} \sigma_{l,0} & G = 0 \end{cases} \quad (32.II)$$

$$e^{i\bar{G}\vec{r}} = 4\pi e^{iGr} \sum_{lm} i^l J_l(|G|r - r_\alpha) Y_{lm}^*(G) Y_{lm}(r - r_\alpha) \quad (33.II)$$

أين

r الإحداثيات الكروية

r_α نصف قطر كرة α

الكمون الكولومبي يصبح على الشكل

$$V_c(\vec{G}) = \frac{4\pi\rho(\vec{G})}{G^2} \quad (34.II)$$

نهاية المعادلة (34.II) فنحصل على :

$$V_{PW} = \sum_{lm} V_{lm}^{PW}(r) Y_{lm}(r) = \sum_V V_V^{PW}(r) K_v(r) \quad (35.II)$$

حيث V_{PW} يمثل الكمون المنطقية الاقحامية.

لما

$$K_v(r) = \sum_m C_{lm} Y_{lm}(r) \quad (36.II)$$

نقوم بحساب الكمون داخل كرة MT باستخدام معادلة غرين.

$$V_V(r) = V_{lm}^{PW}(r) \left[\frac{r}{R} \right] + \frac{4\pi}{2l+1} \left\{ \frac{1}{r^{l+1}} \int_0^x dr' r'^{l+2} \rho_v(r') + r' \int_x^R dr' r'^{l-1} \rho_v(r') - \frac{r^l}{R^{2l+1}} \int_0^R dr' r'^{l+2} \rho_v(r') \right\} \quad (37.II)$$

أين $\rho_v(r)$: يمثل الجزء الشعاعي لكتافة الشحنة.

9.II . برنامج Wien2K

في حساباتنا استخدمنا طريقة الموجة المستوية المتزايدة خطيا المدمجة في برنامج Wien2K [30].

البرنامج يشمل مجموعة من البرامج الفرعية المنفصلة الشكل (2.II) :

NN : يحدد هذا البرنامج المسافة بين كل ذرة وجوارها الأقرب كما يساعد في تحديد أقطار الذرات.

LSTART : يولد هذا البرنامج الكثافة الذرية ويحسب الفرق في طاقة المدارات و بالتالي يحسب بنية

عصابات الطاقة.

SYMMETRY : يولد عمليات التناظر في الجملة ويحسب المجموعة النقطية لموقع الخاصة بالذرات

ويولد المعامل الأساسي لهرمونية الشبكة وحساب مصفوفة الدوران الموضعي.

KGEN : يولد المكعبات K في منطقة بربيليون.

DSTART : يولد الكثافة الأولية لبداية دورات (خوارزمية) الحساب الذاتي SCF المنتجة من الكثافة

الذرية والمولدة من **LSTART**.

في حين أن خوارزمية الحساب الذاتي SCF محددة في النقاط التالية :

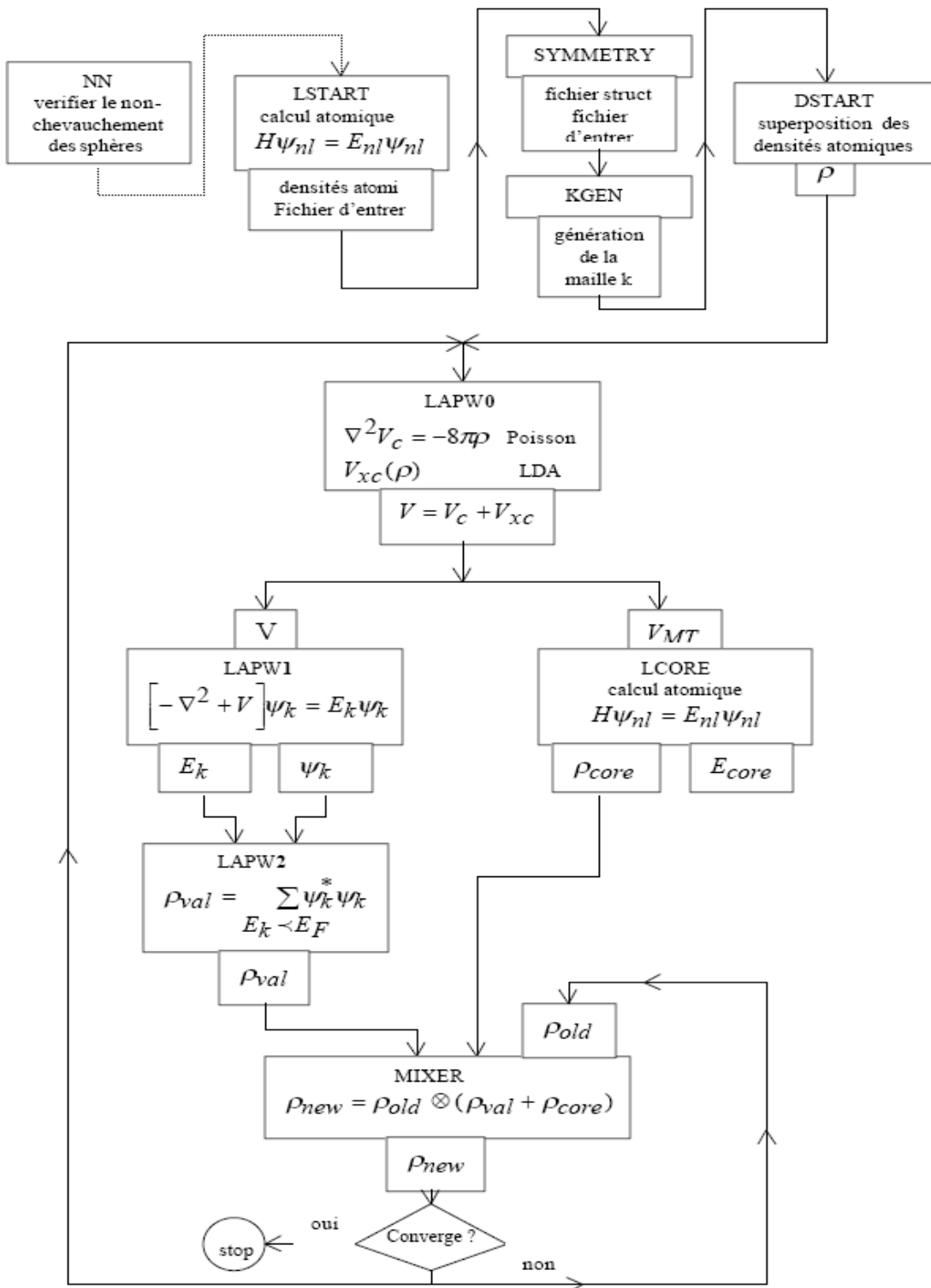
LAPW0 : ينتج الكمون انطلاقا من الكثافة الالكترونية.

LAPW1 : حساب عصابات التكافؤ والقيم الذاتية و الأشعة الذاتية.

LAPW2 : حساب كثافة التكافؤ انطلاقا من الأشعة الذاتية وطاقة فارمي.

LCORE : حساب الطاقة والحالات القلبية.

MIXER : يخلط الكثافة الداخلة و الخارجة.



الشكل(2.II): خوارزمية برنامج Wien2K

الفصل III

عموميات حول مركبات

هسLER

Heusler compounds

الفصل III

عموميات حول مرکبات هسلر

1.III . مقدمة :

أول تاريخ لظهور مرکبات هسلر كان عام 1903 من طرف العالم فريديريك هسلر، عندما

اكتشف أن السبيكة Cu_2MnAl لها طبيعة مواد حديدية المغنة (فيرومغناطيسية)، بالرغم من أن

العناصر المكونة لها ليست مغناطيسية كالحديد Fe والكوبالت Co والنikel Ni [52,53]. هذه المواد تشمل

مجموعة واسعة تتكون أكثر من 1000 مركب، يمكن تشكيل عدد كبير من مرکبات هسلر من خلال مزج

العناصر المختلفة وفقا لنظام الألوان المبين في الشكل (1.III) الذي يعطي لمحة عامة عن التركيبات

الممكنة للعناصر التي تشكل هذه المواد [54].

X_2YZ Heusler compounds																		
H																		He
2.20																		
Li	Be																	
0.98	1.57																	
Na	Mg																	
0.93	1.31																	
K	Ca	Sc	Ti	V	Cr	Mn	Fe	Co	Ni	Cu	Zn	Ga	Ge	As	Se	Br	Kr	
0.82	1.00	1.36	1.54	1.63	1.66	1.55	1.83	1.88	1.91	1.90	1.65	1.81	2.01	2.18	2.55	2.96	3.00	
Rb	Sr	Y	Zr	Nb	Mo	Tc	Ru	Rh	Pd	Ag	Cd	In	Sn	Sb	Te	I	Xe	
0.82	0.95	1.22	1.33	1.60	2.16	1.90	2.20	2.28	2.20	1.93	1.69	1.78	1.96	2.05	2.10	2.66	2.60	
Cs	Ba		Hf	Ta	W	Re	Os	Ir	Pt	Au	Hg	Tl	Pb	Bi	Po	At	Rn	
0.79	0.89		1.30	1.50	1.70	1.90	2.20	2.20	2.20	2.40	1.90	1.80	1.80	1.90	2.00	2.20		
Fr	Ra																	
0.70	0.90																	
La	Ce	Pr	Nd	Pm	Sm	Eu	Gd	Tb	Dy	Ho	Er	Tm	Yb	Lu				
1.10	1.12	1.13	1.14	1.13	1.17	1.20	1.20	1.10	1.22	1.23	1.24	1.25	1.10	1.27				
Ac	Th	Pa	U	Np	Pu	Am	Cm	Bk	Cf	Es	Fm	Md	No	Lr				
1.10	1.30	1.50	1.70	1.30	1.28	1.13	1.28	1.30	1.30	1.30	1.30	1.30	1.30	1.30				

الشكل (1.III): الجدول الدوري للعناصر الممكنة للتركيبات التي تشكل مرکبات هسلر.

يمكن التنبؤ بخصائص العديد من مركبات هسلر انطلاقاً من عدد الكترونات تكافؤها [55]. على

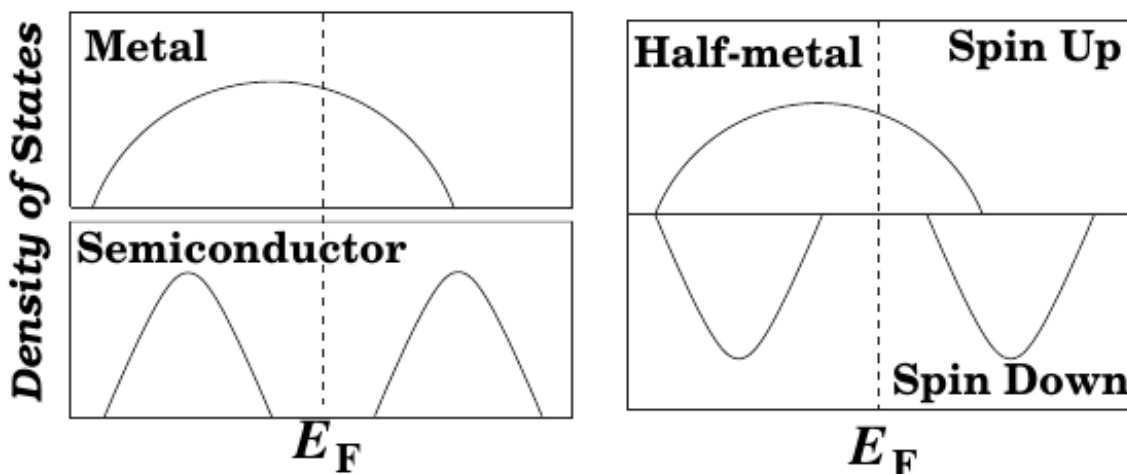
سبيل المثال ، مركبات هسلر غير المغناطيسية لها حوالي 27 إلكترون تكافؤ وهي مركبات فائقة الناقلة.

كان الاهتمام الرئيسي بمركبات هسلر التي لها طبيعة نصف معدنية : أي عصابة سبين أعلى تظهر سلوك

معدني مثالي، أما عصابة سبين أسفلاً فتظهر سلوك نصف ناقل أو عازل، مع وجود فجوة طاقة حول

مستوى فارمي، كما هو موضح في الشكل (2.III). هذا المانع الطاقوي أدى إلى وجود استقطاب سبيني

عند مستوى فارمي، هذا الاستقطاب الكلي يزيد من كفاءة أجهزة الالكترونيات المغناطيسية[6,7].



الشكل (2.III): تمثيل تخطيطي لكتافة الحالات لأنصاف المعادن ، المعادن وأنصاف النوافل [56].

2. مركبات هسلر (Heusler compounds) : 3.III

أول مركبات هسلر التي تم دراستها، ذات بنية بلورية من الشكل L_2 تتكون من 4 شبكات فرعية

ذات بنية مكعبية ممركزة الوجوه fcc (4 fcc sublattices). ثم اكتشف أنه من الممكن ترك واحدة من

الشبكات الفرعية الأربع غير مشغولة (بنيتها البلورية $C1_b$) تسمى هذه المركبات مركبات أنصاف

هسلر (semi-Heuslers) أو مركبات هسلر البسيطة لها صيغة كيميائية بسيطة من الشكل XYZ ، في

حين المركبات ذات البنية L_1 معروفة باسم مركبات هسلر الكاملة (Full-Heuslers)، لها صيغة

كيميائية من الشكل X_2YZ ، كما يوجد نوع آخر من مركبات هسلر الكاملة هو مركبات هسلر الرباعية

كيميائية من الشكل $LiMgPdSn$ -type (Quaternary Heuslers)، بنيتها البلورية من الشكل

من الشكل $F-43m$ [17,18]. صيغتها الكيميائية من الشكل $XX'YZ$ ، حيث X, X', Y و Z من المعادن

الانتقالية أما Z من عناصر المجموعة sp ، إضافة إلى ذلك تكافؤ العنصر X' أقل من تكافؤ X و تكافؤ

العنصر Y أقل من تكافؤ كل من X و X' [19]. كما هو موضح في الشكل (3.III).

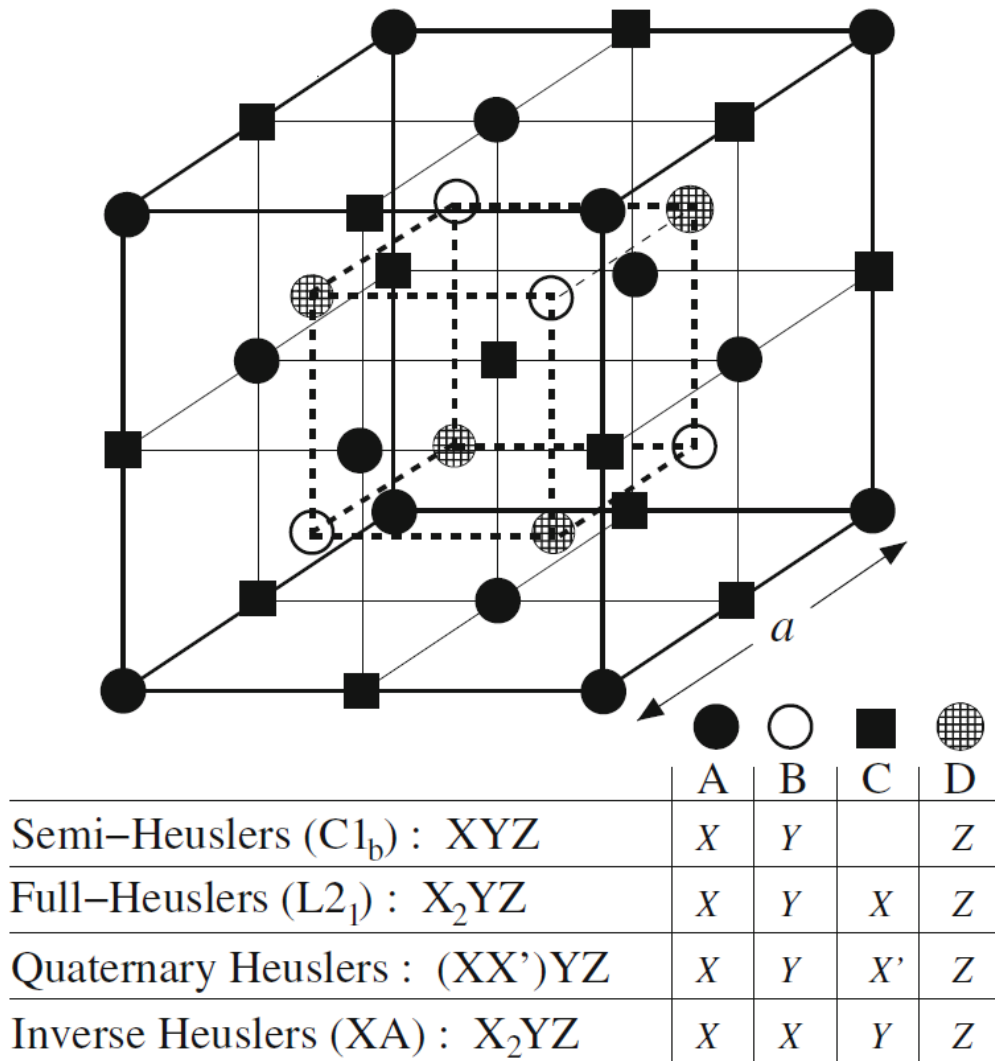
من بين مركبات هسلر البسيطة التي تم دراستها أولاً وكانت الأكثر شهرة $NiMnSb$ [20]. حيث

في عام 1983، أظهر دي غروت ومعاونوه [21] باستخدام المبادئ الأولى لحسابات البنية الإلكترونية أن

هذا المركب هو في الواقع نصف معدني، أي عصابة الطاقة لسبعين أسفل تظهر سلوك نصف ناقل مع

وجود فاصل طاقوي حول مستوى فيرمي E_F ، مما أدى إلى استقطاب سبيسي 100٪ على مستوى فلورمي

$.E_F$



الشكل (3.III): التمثيل التخطيطي للبني المختلفة لمركيات هسلر [57].

تعد مركبات هسلر الكاملة أول من تم دراسة خصائصها المغناطيسية [24-22]. حيث درس

كوبلر ومعاونيه آليات استقرار المغزطة الحديدية ضد المغزطة الحديدية لهذه المركبات [25]. وكان أول

من اكتشف وجود خاصية نصف معدن في مركبات هسلر الكاملة فريق بحث ياباني أثناء دراسة المركبين

.[28-26] Ge و Si يمثل Z حيث CO_2MnZ

3.III : (Origin of magnetism in Heusler alloys) أصل المغناطيسية في مركبات هسلر

تتضمن مركبات هسلر عدد ضخم من المركبات المغناطيسية، تظهر مختلف الظواهر المغناطيسية مثل المغفرطة الحديدية، ضد المغفرطة الحديدية [16-9]. فأغلبية مركبات هسلر لها خاصية المغنة الحديدية أو الفيرومغناطيسية (ferromagnetic) لمركبات هسلر يمكن التنبؤ بها من خلال عدد الكترونات تكافؤها [58, 59]، مثل قيمة العزم المغناطيسيي. في الواقع، ثبتت بان العزم المغناطيسي لسبائك Co_2MnZ ، عبارة عن عدد صحيح (الجدول 1.III) يتبع قاعدة سلاتر وبولينج . كمثال على ذلك، المركب Co_2MnAl الذي ينتمي إلى عائلة مركبات هسلر الكاملة (Full-Heuslers) له عزم مغناطيسي يساوي $4\mu_B$ و العدد الكلي للكترونات تكافؤه يساوي 28 إلكترون أي 9 للعنصر Co و 7 للعنصر Mn و 3 للعنصر Al، وحسب قاعدة سلاتر باولينج لمركبات

$$M_t = Z_t - 24$$

$$M_t = 28 - 24$$

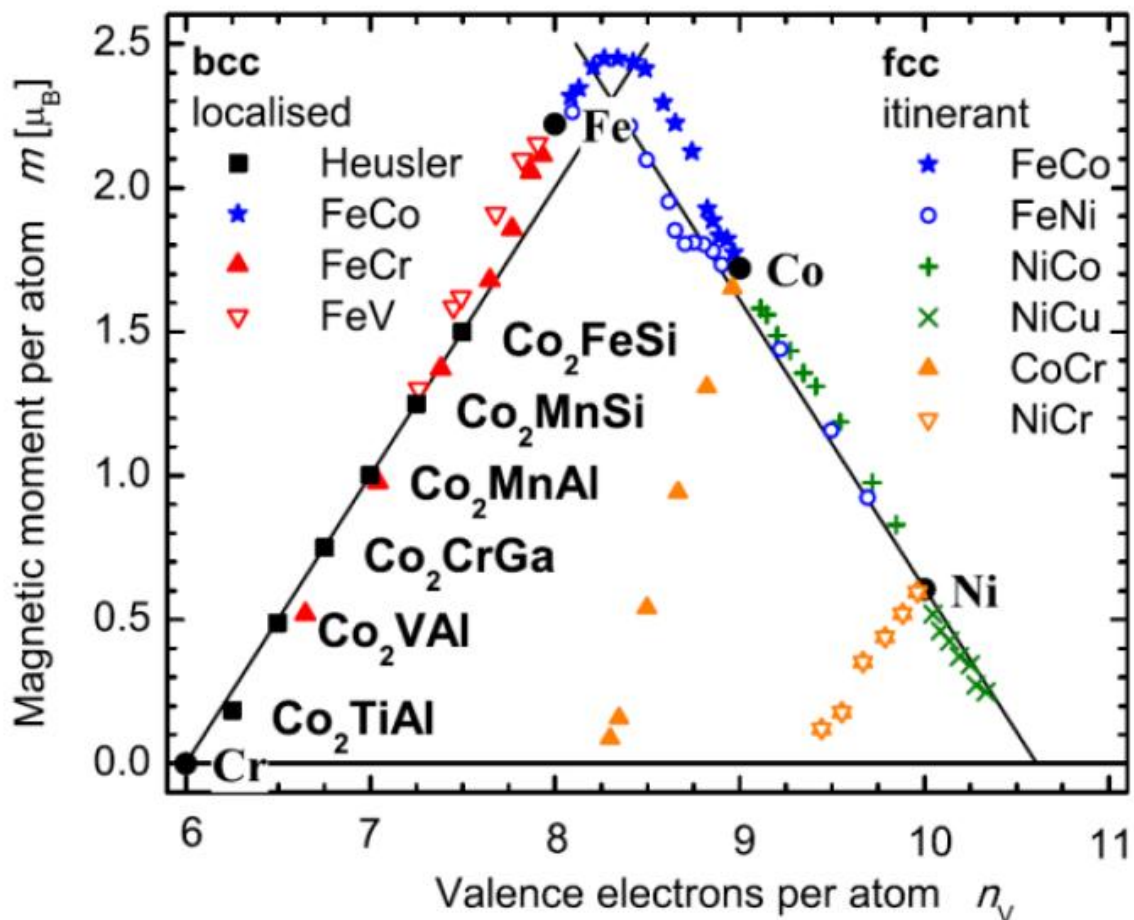
$$M_t = 4\mu_B$$

الجدول (1.III): العزم المغناطيسي لسبائك [60] Co_2MnZ

$m^{spin}(\mu_B)$	Co	Mn	Z	Total theoretical
Co_2MnAl	0.768	2.530	-0.096	3.970
Co_2MnGa	0.688	2.775	-0.093	4.058
Co_2MnSi	1.021	2.971	-0.074	4.940
Co_2MnGe	0.981	3.040	-0.061	4.941
Co_2MnSn	0.920	3.203	-0.078	4.984

بينت قاعدة سلاتر باولينغ بأن هناك علاقة خطية بين العزم المغناطيسي و الكترونات التكافؤ، كما

هو موضح في الشكل (4.III).



الشكل (4.III): منحنى سلاتر باولينغ للمعادن الانتقالية 3d و سبائكها [61].

العزم المغناطيسي لمركبات أنصاف هسلر C1_b (semi-Heuslers) ذات الطبيعة نصف معدنية

والتي لها صيغة كيميائية بسيطة من الشكل XYZ ، يخضع للعلاقة البسيطة التالية : $M_t = Z_t - 18$

حيث Z_t العدد الكلي للكترونات التكافؤ. باختصار، العدد الإجمالي لإلكترونات التكافؤ Z_t هو مجموع

عدد الكترونات عصابة سبين أعلى و إلكترونات عصابة سبين أسفل، بينما قيمة العزم المغناطيسي M_t

هي الفرق في عدد الكترونات عصابة سبين أعلى و إلكترونات عصابة سبين أسفل [62]:

$$Z_t = N_{\uparrow} + N_{\downarrow}, \quad M_t = N_{\uparrow} - N_{\downarrow} \rightarrow M_t = Z_t - 2N_{\downarrow}$$

يُكمن دور العناصر sp بالنسبة لمركبات أنصاف هسلر (semi-Heuslers) ذات الصيغة

الكيميائية من الشكل XYZ ، في المشاركة في بنية الكترونات عصابة سبين أسفل \downarrow بإلكترون من الطبقة s

وثلاث إلكترونات من الطبقة p [57]. المدارات d لذري المعادنين الانتقاليين (X و Y) تهجن فيما بينها

لتعطي خمس حالات رابطة مشغولة (five occupied bonding) وخمس حالات معاكسة للربط غير

مشغولة (five unoccupied antibonding d states) (الشكل 5.III). في بنية عصابة سبين أسفل \downarrow

هذه الحالات الخمس المهجنة (five d hybrids) تحتوي على انحطاط مضاعف للحالة e_g و انحطاط

ثلاثي للحالة t_{2g} (double degenerate e_g and the triple degenerate t_{2g} states) [57].

إذن العدد الكلي للكترونات عصابة سبين أسفل \downarrow يساوي 9 ومنه العزم المغناطيسي لمركبات

أنصاف هسلر $C1_b$ ذات الطبيعة نصف معدنية نحصل عليه انتلاقاً من العلاقة البسيطة: $M_t = Z_t - 18$

[62]. كمثال على ذلك، المركب $NiMnSb$ له عزم مغناطيسي يساوي $4\mu_B$ ، و العدد الكلي للكترونات

التكافؤ يساوي 22 أي 10 للعنصر Ni و 7 للعنصر Mn و 5 للعنصر Sb . بسبب فجوة الطاقة الموجودة

حول مستوى فارمي، فإن المركب $NiMnSb$ يحتوي على 9 bands are fully occupied (في عصابة

سبين أسفل \downarrow وهي (5 $Ni-d$ bands ، 3 $Sb-p$ bands ، 1 $Sb-s$ band)، أما عدد الكترونات

عصابة سبين أعلى \uparrow فيساوي $22 - 9 = 13$.

4. III: قاعدة سلتر باولينغ لمركبات هسلر الرباعية :

(Slater-Pauling Behavior of the LiMgPdSn-Type Heusler Compounds)

قام غالاناكيس Galanakis [62] بدراسة العزم المغناطيسي لمركبات هسلر الكاملة (Full-Heuslers)

والتي صيغتها الكيميائية من الشكل X_2YZ ، فوجد قيمته تستنتج من العلاقة البسيطة : $M_t = Z_t - 24$

حيث Z_t العدد الكلي لاكترونات التكافؤ و M_t قيمة العزم المغناطيسي ، أما العدد 24 فيمثل $\downarrow 2N$ حيث

عصابة سبين أسفل تحتوي على 12 إلكترون: 4 الكترونات تشغله الطبقتين s و p لعنصر المجموعة sp

(العنصر D في الشكل (3.III)) و 8 الكترونات تحتويها الطبقة $X-d$ و $2 \times e_g$ ، $3 \times t_{2g}$)

كما هو موضح في الشكل (5.III). حيث أن المدارات d للذرات X التي تشغّل المواقع (A و C) تهجن فيما

بينها لتعطى خمس حالات رابطة مشغولة (five occupied bonding d states) . هذه المدارات

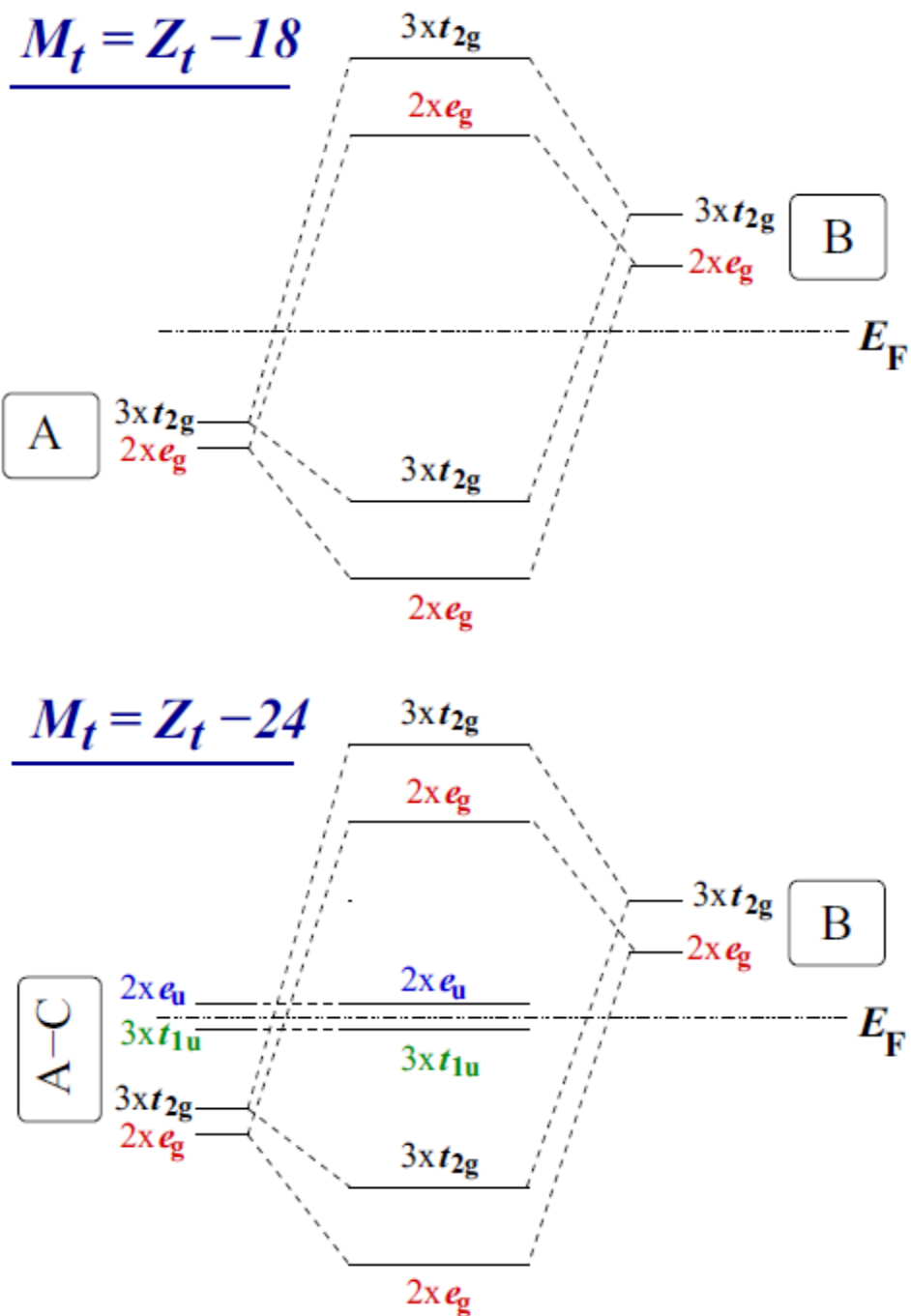
الخمس تهجن مع المدارات d للذرات Y لتعطى خمس حالات رابطة مشغولة وخمس حالات معاكسة

للربط غير مشغولة (five unoccupied antibonding d states) ، وخمس حالات غير رابطة مهجنة

كما هو موضح في (الشكل(5.III)). هذه الحالات الخمس المهجنة (five nonbonding d hyrids)

للحالة t_{1u} تحتوي على انحطاط مضاعف للحالة e_u و انحطاط ثلاثي (five d hybrids)

.[57] (double degenerate e_u and the triple degenerate t_{1u} states)



الشكل(5.III): تمثيل تخطيطي لالتحام (التهجين) مدارات التكافؤ لذرات المعادن الانتقالية لمركيبات هسلر التي تظهر سلوك نصف معدن [57].

قام أزدوقان ومعاونوه [63] بدراسة الخصائص الإلكترونية والمغناطيسية لـ 60 مركب من

مركبات هسلر الرباعية (Quaternary Heuslers) والتي بنيتها البلورية من الشكل LiMgPdSn_t

‘type’، وقد تبين أن معظم مركبات هسلر الرباعية النصف معدنية تخضع لنفس قاعدة سلاتر بولينج

لمركبات هسلر الكاملة (Full-Heuslers) أي: $M_t = Z_t - 24$ ، مع استثناءات قليلة فقط. ويعود ذلك إلى

أن مركبات هسلر الرباعية لها نفس مخطط تهجين مركبات هسلر الكاملة (الشكل 5.III).

يبين الجدول (2.III) بعض مركبات هسلر الرباعية النصف معدنية التي تخضع لقاعدة سلاتر

بولينج: $M_t = Z_t - 24 - m$. حيث $a(\text{\AA})$ ثابت الشبكة البلورية، Z_t العدد الكلي للكترونات التكافؤ و

العزم المغناطيسي.

الجدول (2.III): حساب العزم المغناطيسي بـ μ_B لبعض مركبات هسلر الرباعية النصف معدنية، حيث

$M_t = Z_t - 24 - \mu_B$. Co_tX التي تخضع لقاعدة سلاتر بولينج:

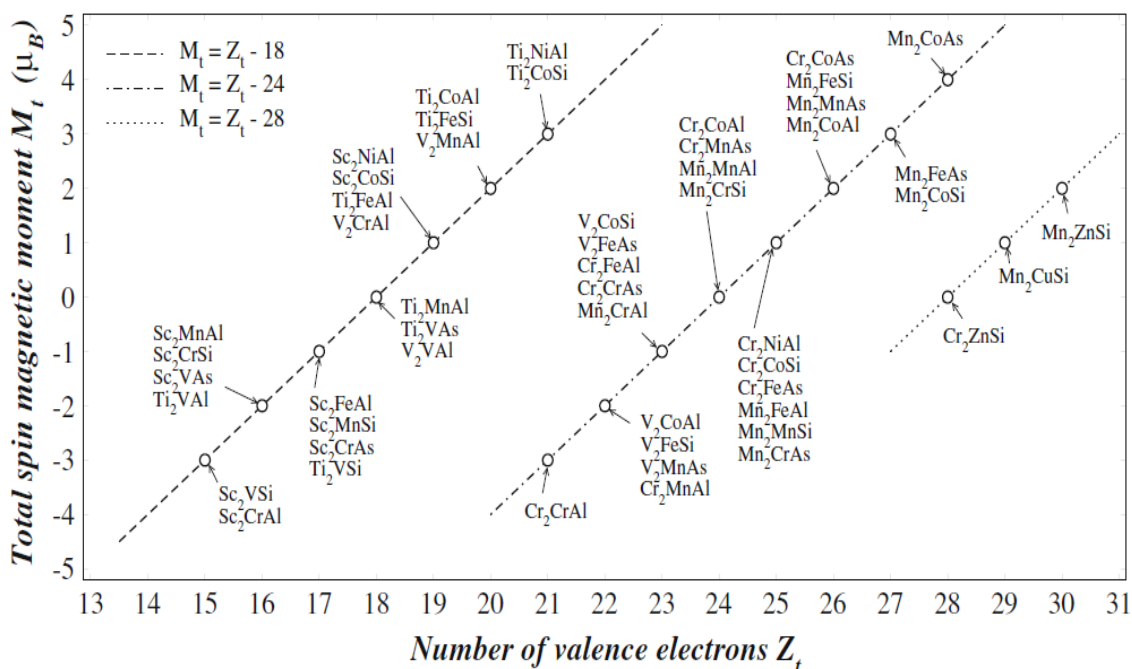
$(XX')YZ$	$a(\text{\AA})$	m^X	$m^{X'}$	m^Y	m^{total}	Z_t
(CoCr)TiAl	5.95	-0.23	-2.15	0.28	-2.00	22
(CoV)TiSi	5.90	-0.26	-1.67	-0.12	-2.00	22
(CoCr)VAI	5.82	-0.34	-1.28	0.59	-1.00	23
(CoMn)TiAl	5.86	-0.23	-1.03	0.23	-0.98	23
(CoCr)TiSi	5.80	-0.21	-0.92	0.09	-1.00	23
(CoV)TiAs	5.97	-0.13	-0.90	-0.03	-1.00	23
(CoMn)CrAl	5.71	0.66	-1.09	1.50	1.00	25
(CoFe)VAI	5.73	0.61	0.51	-0.09	0.97	25
(CoMn)VSi	5.65	0.67	-0.05	0.38	0.97	25
(CoFe)TiSi	5.73	0.58	0.65	-0.19	1.00	25
(CoCr)VAs	5.80	0.72	-0.41	0.68	1.00	25
(CoMn)TiAs	5.83	0.62	0.54	-0.15	1.00	25
(CoMn)VAs	5.77	1.15	0.47	0.35	2.00	26
(CoFe)MnAl	5.68	0.73	-0.18	2.59	3.00	27
(CoFe)CrSi	5.61	1.00	0.33	1.79	3.00	27
(CoMn)CrAs	5.75	1.06	-0.44	2.38	3.00	27
(CoFe)VAs	5.78	1.05	1.19	0.75	3.00	27
(CoFe)MnSi	5.60	0.79	0.55	2.81	4.00	28
(CoFe)CrAs	5.75	0.91	0.80	2.34	4.00	28
(CoFe)MnAs	5.74	0.94	0.99	3.12	5.00	29

يبين الشكل (6.III) العزم المغناطيسي بدلالة العدد الكلي لالكترونات التكافؤ لبعض مركبات هسلر

العكسية، حيث نلاحظ أن هذه المركبات منها من يخضع لقاعدة ثلاثة أثبتت من طرف سكافتور و ومعاونوه [64]. حيث

عندما يكون X هو Cr أو Mn أو Zn أو Cu أو Y هو $M_t = Z_t - 28$ ، فإن مركبات هسلر العكسية تخضع لقاعدة سلاتر

بولينج: $M_t = Z_t - 28$ كما هو موضح في الشكل (6.III).



الشكل (6.III): تغير العزم المغناطيسي بدلالة العدد الكلي لالكترونات التكافؤ لبعض مركبات هسلر

العكسية، والخطوط المتقطعة تمثل مختلف قواعد سلاتر بولينج.

5. درجة حرارة كيري:

تتأثر المغнطة بدرجة بسيطة عند رفع درجة حرارة المادة، ولكن عند الوصول إلى درجة حرارة

حرجة T_C تسمى درجة حرارة كيري (Curie temperature) نجد أن جميع مغнطة المادة تتلاشى و

تحول المادة الفيرومغناطيسية إلى مادة بارامغناطيسية فوق تلك الدرجة.

لقد وجد العالم "كيري" pierre curie (1859-1906) وأخرين أن تمغنت المواد البارامغناطيسية وتحت

مدى واسع من الظروف يتاسب طرديا مع المجال المغناطيسي المسلط، و عكسيا مع درجة الحرارة

المطلقة. فدرجة حرارة كيري T_C تعتبر ثابت مهم بالنسبة لمركبات هسلر في التطبيقات العملية، لذا نقوم

بحساب درجة حرارة كيري T_C للمركبين $\text{CoMnTa}(\text{Si}, \text{Ge})$ انطلاقا من الفرق في الطاقة الكلية ΔE

بين الطورين الفيرومغناطيسى (FM) و الطور البارامغناطيسى (PM) أي: $\Delta E = E_{\text{PM}} - E_{\text{FM}}$ المرتكزة

على نموذج هيزمبرغ لتقرير الحقل المتوسط (mean field approximation (MFA)) حسب

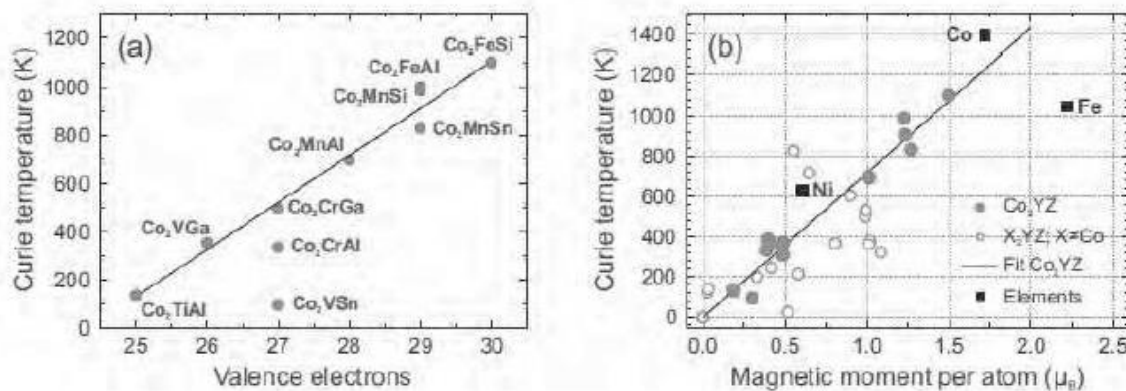
$$T_C = \frac{\Delta E}{3K_B} \quad \text{العلاقة التالية : (1.III)}$$

حيث الثابت K_B يسمى ثابت بلترمان [65].

للحظ بأن مركبات هسلر لها درجة حرارة كيري مرتفعة [66]. كما وجد بأن هناك علاقة خطية

بين درجة حرارة كيري وعدد الكترونات التكافؤ . إضافة إلى ذلك ، تبين بأنه توجد علاقة طردية بين

درجة حرارة كيري وقيمة العزم المغناطيسي، كما هو موضح في الشكل (7.III).



الشكل (7.III): حساب درجة حرارة كيري بدالة الكترونات التكافؤ و العزم المغناطيسي [66].

6.III: تطبيقات مركبات هسلر:

تنصف مركبات هسلر بخصائص فريدة لا تتوفّر في كثير من السبائك كما لها تطبيقات عديدة

منها:

1.5.III: تطبيقات مركبات هسلر في مجال السبين الالكتروني (spintroniques):

في السنوات الأخيرة ظهر في مجال التكنولوجي مصطلح السبين الالكتروني، الذي لا يدرس

شحنة الالكترون فقط ولكن يهتم بمجال المعلومات الناتجة عن سبين الالكترونات .

بحيث يكشف علاقة التفاعل بين الكترونات الناقل و الخصائص المغناطيسية للمواد على مستوى

الميكروالكتروني، أي يضم درجة حرية السبين للفاعدة التقليدية لالكترونات أنصاف النواقل، و يظهر

ذلك في الدمج بين المجال الالكتروني، الضوئي و المغناطيسي (أي السبين متعدد الدوال)، وكمثال على

ذلك حقيقة حقل الترانزistor spin-FET، مصدر ضوء الديود spin-LED، جهاز التجاوب النفقي

spin RTD، جهاز تحويل الرسالة الى رموز encoders، جهاز حل الشفرة Decoders، أجهزة وسائل

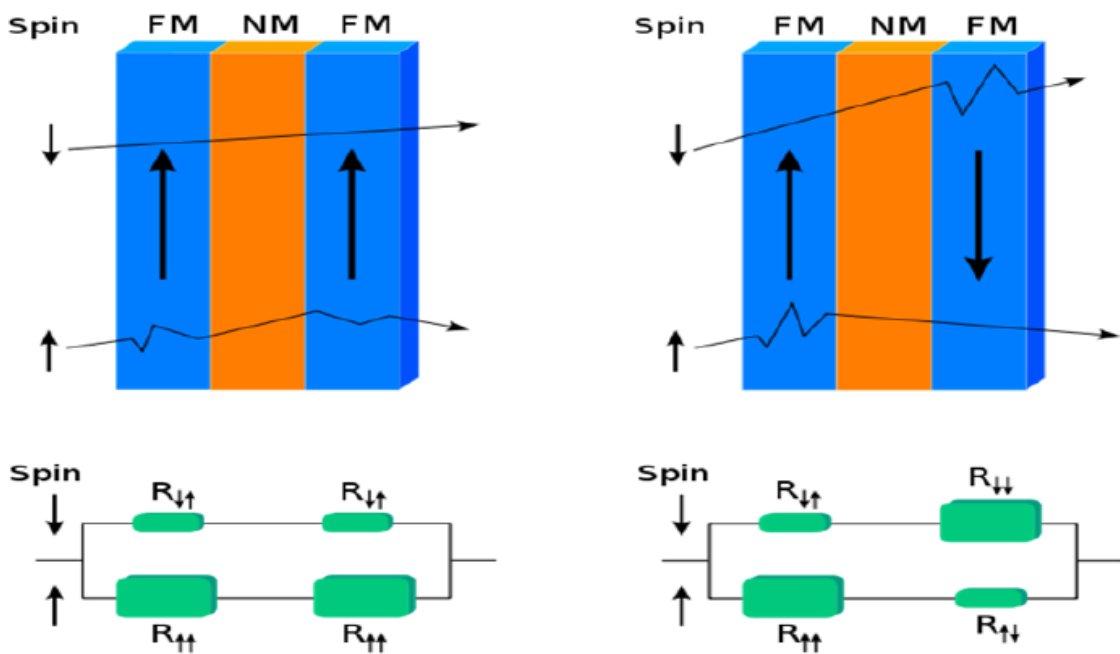
الاتصال عموماً، وفي أجهزة حفظ المعلومات.

من العوائق التقنية للأجهزة السابقة هو عملية التصنيع الجسيمي لأنصاف النواقل بقاعدة السبين الإلكتروني، فللحث في المواد المغناطيسية وأنصاف النواقل يتطلب تحديات كثيرة لاختلاف الموجود في البنى البلورية والروابط الكيمائية [67,68]، فكثير من أنصاف النواقل المغناطيسية صنعت عن طريق التطعيم، ومن العوائق بعد التصنيع هو درجة الحرارة لإمكانية العبور من الحالة المادة المغناطيسية إلى الحالة اللامغناطيسية و المعروفة بدرجة حرارة لكيي T_c ، سنذكر على سبيل المثال درجة حرارة كبيرة لبعض مركبات هسلر $T_c=228K$ للمركيبين Mn_2FeSi و Fe_2MnSi لمركب $Tc=863K$ حسب المرجعين Fe_2CoSi لمركب $Tc=1100K$ و Fe_2FeSi لمركب $Tc=1023K$ حسب المراجعين [69,70].

نحن نرى استعمال السبين الإلكتروني (spintroniques) في حياتنا اليومية، من خلال صمامات العزم المغزلي spin على أساس تأثير (GMR) ، والتي تستخدم في الحساسات المغناطيسية ورؤوس قراءة الأقراص الصلبة كما تستخدم الذاكرة المغناطيسية العشوائية MRAM. يتكون صمام العزم المغزلي من طبقتين فيرماغناطيسيتين يمكن تغيير قطبيتها في وجود مجال مغناطيسي ضعيف ، بينهما طبقة معدنية غير مغناطيسية رقيقة جدا.

تم اكتشاف تأثير المغناطيسية العملاق (Giant magnetoresistance) في مواد تتشكل من عدة طبقات مغناطيسية في عام 1986 من قبل غرونبرغ و فير فد [71]. حيث أحدثت ثورة في مجال تكنولوجيا المعلومات .

التأثير GMR يجعل المقاومة الكهربائية للعينة تعتمد على اتجاه المغناطيسية في الطبقات المغناطيسية، وتكون المقاومة أعلى في حالة أن يكون اتجاه المغناطيسية في الطبقات معاكسة، بعكس المقاومة عندما تكون مغناطيسية الطبقات في نفس الاتجاه الشكل (8.III).



الشكل (8.III): صمام العزم المغزلي vannes de spin

2.5.III: تطبيقات مركبات هسلر في مجال السبائك المتذكرة للشكل (Shape Memory Alloys)

تعد السبائك المتذكرة للشكل شكل جديد من أشكال المادة الذكية التي تتمتع بخواص ميكانيكية

خارقة غير متوفرة في المواد والسبائك التي جرت العادة على استخدامها في التطبيقات الهندسية و

غيرها، حيث تتميز تلك السبائك بقدرتها على استعادة شكلها الأصلي عند تسخينها، تعد سبيكة النيكل-

التيتانيوم أهم أنواع السبائك المتذكرة للشكل وأعلاها سعراً، ومن السبائك المتداولة أيضاً في هذا المجال

سبائك النحاس-الألمونيوم-النيكل، بالإضافة إلى سبائك هسلر [72].

الفصل IV

النتائج و المناقشة

الفصل IV

النتائج و المناقشة

1. IV . مقدمة :

تعد المحاكاة أداة مهمة للفيزيائي، فقد استخدم هذا الأسلوب بشكل واسع في بداية الأمر في مجال الفيزياء لوصف الظواهر الفيزيائية والطرق العشوائية للتصادم بين الذرات وقياس الخصائص الترموديناميكية. حيث أصبحت جسر بين التجارب والنظريات فالمحاكاة تمدنا بالمعلومات التي تساعدنا على فهم الخصائص الميكروسكوبية ، كما أنها تسمح من خلال التجارب الفكرية بأشياء يستحيل تنفيذها واقعياً ولكن نتائجها تزيد من فهمنا للظاهرة بحيث يمكن تحقيقها. فالمحاكاة العددية هي عبارة عن محاولة إيجاد صورة طبق الأصل من نظام أو نشاط دون أن نحاول الحصول على النظام الحقيقي نفسه ."أو يمكن القول أنه" أسلوب رياضي يستلزم تنفيذه على الحاسوب الإلكتروني لمعالجة المشاكل التي تتدخل فيها أنواع معينة من العلاقات الرياضية والمنطقية الضرورية لوصف سلوك أو هيئة نظام لعالم حقيقي معقد ولفترات زمنية طويلة" [73] .

في السنوات الأخيرة اهتم كثير من الباحثين بدراسة الخصائص الفيزيائية للمواد المغناطيسية التي تتعلق بالكثير من التطبيقات الكهربائية التي تدخل في الصناعات الحديثة، كالمولادات الكهربائية والمحولات الكهربائية وأجهزة حفظ الذاكرة.

من بين هذه المواد المغناطيسية التي سدرسها في بحثنا مركبات هسلر التي ظهرت في سنة 1903م [8]، منها مركبات هسلر الرباعية ذات البنية البلورية (Quaternary Heuslers) LiMgPdSn-type و زمرة تناظر فضائية من الشكل F-43m . صيغتها الكيميائية من الشكل $(\text{XX'})\text{YZ}$ حيث X, X' و Y من المعادن الانتقالية أما Z من عناصر المجموعة sp [17, 18]. وهذا لتميزها عن كثير من المركبات بخاصية السبين الإلكتروني [74-78]، كما أنها تمتلك خصائص مغناطيسية مثيرة جداً للاهتمام [79]. مركبا هسلر الرباعية CoMnTa(Si, Ge) هما مركبا نصف معدن فيرو مغناطيسي (Half-metallic ferromagnets (HMFs)) لهما عزم مغناطيسي $1.00 \mu_B$. حيث تتميز المواد نصف المعدنية باستقطاب سبيني كلي عند مستوى فارمي مما جعلها تستخدم في مجال السبين الإلكتروني (spintronics). هذه المواد تتصرف مثل المعادن فيما يتعلق بلتجاه أحد سبين الإلكترونات ومثل أنصاف النواقل فيما يتعلق بلتجاه سبين الإلكترونات الآخر [79].

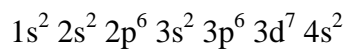
في هذا الفصل استخدامنا برنامج المحاكاة **WIEN2K** من أجل تحديد الخصائص البنوية، الإلكترونيية، والمغناطيسية للمركبين ذات البنية البلورية من CoMnTa(Si, Ge) . في هذه البنية الذرات Co و Mn و Ta و Si أو Ge) تتموضع في الشكل LiMgPdSn-type موضع ويکوف Wyckoff positions (كالأنى: $4c$ ، $4d(1/2,1/2,1/2)$ ، $4a(0,0,0)$) .

على الترتيب، : البنية البلورية للمركبين CoMnTaSi و CoMnTaGe ممثلة في الشكل (1. IV).

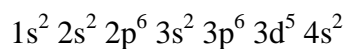
لدراسة الخصائص البنوية، إلكترونية و المغناطيسية ، استخدمنا طريقة الموجة المستوية المتزايدة خطياً والكمون الكامل (FP-LAPW) والتي تكون مبنية على كمون (MT) أو ما يسمى كمون خلية النحل، الذي يأخذ دالة موجة إلكترونات الحالة القلبية على شكل دالة شعاعية وإلكترونات الحالة البنية دالة موجة مستوية و المدمجة في برنامج Wien2k، وتم إجراء هذه الحسابات في إطار نظرية دالية الكثافة الإلكترونية (DFT)، حيث أنه لحساب كمون تبادل – ارتباط استخدمنا تقريب (GGA) والتقريب $GGA+U$ لأنه الأحسن لوصف المركبات التي تحوي المعادن الانتقالية أو العناصر الأرضية النادرة مع أخذنا لحد هيبارد $U=7.07 \text{ eV}$, كما أخذنا التقريب النسبي لدالة الموجة داخل كرة M.T ، و اختيارنا قيمة العزم الزاوي $L_{\max}=10$.

يعطى التوزيع الإلكتروني للعناصر الكيميائية على الشكل:

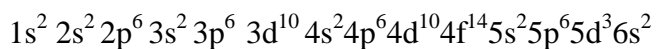
بالنسبة لعنصر Co التوزيع الإلكتروني هو:



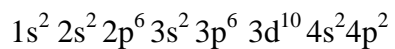
و عنصر Mn التوزيع الإلكتروني هو :



و عنصر Ta التوزيع الإلكتروني هو :



و عنصر Ge التوزيع الإلكتروني هو :



أما عنصر Si فالتوزيع الإلكتروني هو :

$$1s^2 2s^2 2p^6 3s^2 3p^2.$$

كما تم اختيار أنصاف قطر كرية M.T لكل ذرة على النحو التالي :

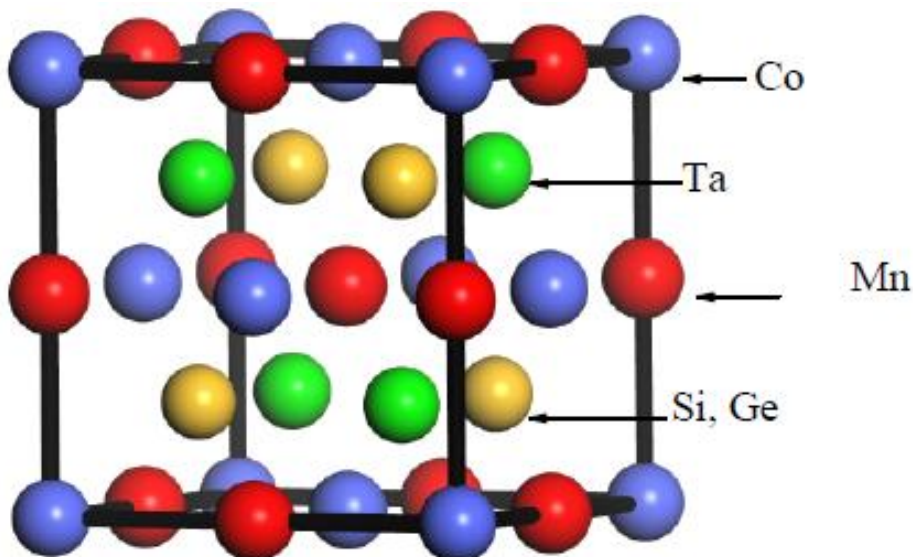
أما العنصر الكيميائي Si فكانت (u.a) 2.28 و (u.a) 2.42 للعناصر Mn و Co و Ta . أما العنصر الكيميائي

$R_{mt} * K_{max}$ وذلك (u.a) 2.25 بالنسبة لذرة Ge. وتم انتقاء اختباري للنقاط الخاصة ، $R_{mt} * K_{max}$ وذلك

باستخدام الحساب الذاتي (Self Consistent) .

في كل التقريريات السابقة كانت K_{point} 3000 .

هي 7 للمركيين $CoMnTaGe$ و $CoMnTaSi$ في كل التقريريات.



. الشكل (1. IV) : البنية البلورية للمركيين $CoMnTaGe$ و $CoMnTaSi$

2. الخصائص البنوية : IV

حساب الخصائص البنوية مهم جدا لدراسة أي مادة لأنها تتيح لنا استخدام النتائج المتحصل عليها في تحديد الخصائص الفيزيائية الأخرى. هذا الحساب يهدف إلى تحديد حجم الخلية عند التوازن الموافق للحد الأدنى من الطاقة E وكذا حساب معامل الانضغاطية B و مشتقه الأول بالنسبة للضغط. لقد تم حساب طاقات الحالة الأساسية كدالة لثابت الشبكة البلورية $a(\text{\AA})$ للمركبين CoMnTaGe و CoMnTaSi في الحالتين الفيرومغناطيسية (FM) والبارامغناطيسية (PM) في تقريب GGA والمبنية في الشكل (2.IV). أما النتائج المتحصل عليها لثابت الشبكة البلورية في تقريب $a(\text{\AA})$ ومعامل الانضغاطية B و المشتقه الأولى لمعامل الانضغاطية B' مدونة في الجدول .(1.IV)

معظم النتائج المتحصل عليها لثابت الشبكة البلورية $a(\text{\AA})$ للمركبين CoMnTaSi و CoMnTaGe كانت متقاربة بالنسبة للحالتين الفيرومغناطيسية (FM) والبارامغناطيسية (PM) . من المعروف أن هناك علاقة قوية بين معامل الانضغاطية B و صلابة المواد؛ وبالتالي، المركبين عمليا لا يمتلك نفس الدرجة من الصلابة . معامل الانضغاطية B للمركب CoMnTaSi أكبر من معامل الانضغاطية B للمركب CoMnTaGe . وهذا يعني أن المركب CoMnTaSi أكبر صلابة من المركب CoMnTaGe . عند ثابتنا الشبكة البلورية 5.88\AA للمركب CoMnTaSi و 5.96\AA للمركب CoMnTaGe ، الفرق في الطاقة الكلية بين الطورين الفيرومغناطيسي (FM) و الطور البارامغناطيسي (PM) هي 0.106eV/f.u و 0.125eV/f.u للمركبين CoMnTaSi و CoMnTaGe

CoMnTaGe على الترتيب. إضافة إلى ذلك، لاحظنا أن الطور الفيرو مغناطيسي أكثر استقرارا من الطور البارا مغناطيسي. كما اخترنا المركب CoMnCrSb [80] من أجل المقارنة نظرا للتشابه الكبير من ناحية البنية. درجة حرارة كيري للمركبين CoMnTaZ(Z=Si, Ge) انطلاقا من العلاقة (1.III) هي: 409.5K و 482.9K للمركبين CoMnTaSi و CoMnTaGe على الترتيب.

نلاحظ أن درجة حرارة كيري للمركبين مرتفعة مقارنة بدرجة حرارة الغرفة، فالمركبين مناسبين لتطبيقات السبيبن الالكتروني.

توضح المعادلة (1.IV) طاقة التشكّل (E_f) للمركبين (CoMnTaZ(Z=Si, Ge)) ، كما تحدد الاستقرار الحراري للمركبين:

$$E_f = E_{CoMnTa(Si,Ge)}^{Tot} - \left[E_{Co}^{bulk} + E_{Mn}^{bulk} + E_{Ta}^{bulk} + E_{(Si,Ge)}^{bulk} \right] \quad (1.IV)$$

حيث $E_{CoMnTa(Si,Ge)}^{Tot}$ تمثل الطاقة الكلية للمركبين CoMnTaSi و CoMnTaGe و $E_{Co}^{bulk} + E_{Mn}^{bulk} + E_{Ta}^{bulk} + E_{(Si,Ge)}^{bulk}$ تمثل مجموع الطاقات الكلية للذرات: Co ، Mn ، Ta ، Si (أو Ge) على الترتيب. في الجدول (2.IV) ، أعطيت قيم طاقة التشكّل للمركبين CoMnTa(Si, Ge) ، حيث تشير القيم السالبة إلى أن المركبين CoMnTaGe و CoMnTaSi مستقران طاقويا، كما لاحظنا أن قيمة طاقة تشكّل مركب CoMnTaSi هي أقل من تلك المحسوبة لمركب CoMnTaGe ، مما يشير إلى أن CoMnTaSi أكثر استقرارا من CoMnTaGe. نظرا لغياب القيم التجريبية و الحسابات النظرية للمركبين فإن هذه النتائج بمثابة مرجع للدراسة.

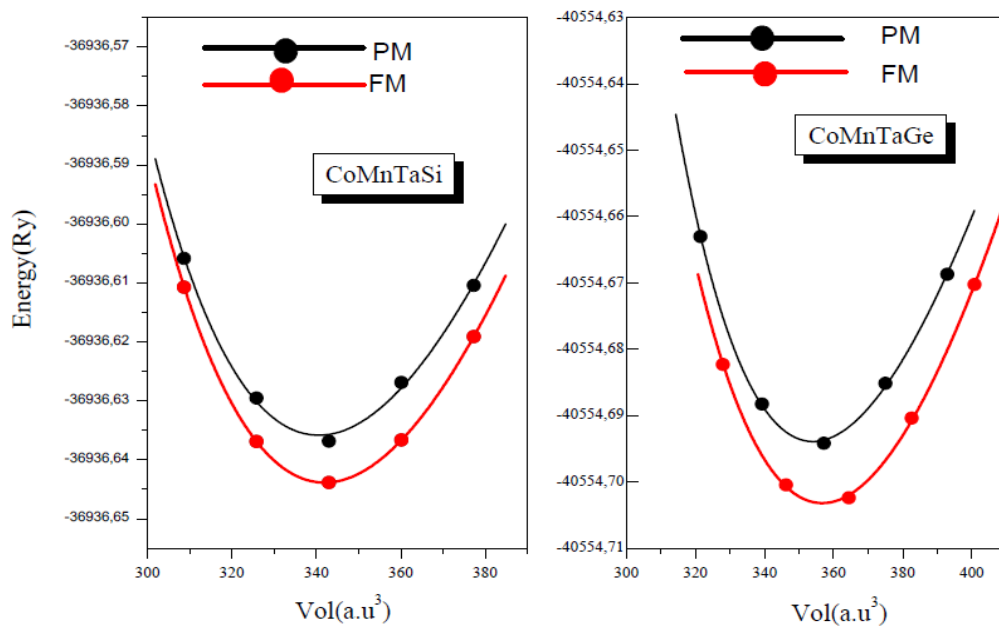
الجدول (1.IV) : قيم كل من ثابت الشبكة (a) Å ومعامل الانضغاطية B و المشتقة الأولى

. CoMnTaGe , CoMnTaSi و CoMnTaGe لمعامل الانضغاطية B' للمركبين

	A	B	B'
CoMnTaGe(FM)	5.96	164.26	4.43
CoMnTaGe(PM)	5.95	194.90	3.48
CoMnTaSi(FM)	5.88	244.25	5.14
CoMnTaSi(PM)	5.87	237.46	5.60
$\text{CoMnCrSb(FM)}[73]$	6.067	140.5	5.25

الجدول (2.IV) : قيم طاقة التشكيل للمركبين CoMnTaSi و CoMnTaGe

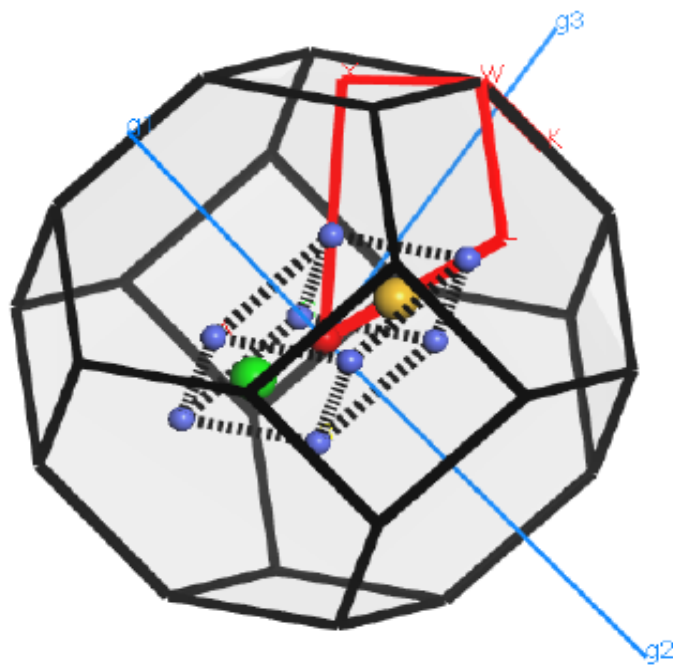
	$E_f(\text{Ry})$
CoMnTaSi	-0.2418925
CoMnTaGe	-0.21370725



الشكل (2.IV) : تغيرات الطاقة الكلية للمركبين CoMnTaGe و CoMnTaSi بدلالة الحجم.

IV. 3. الخصائص الالكترونية:

في هذا الجزء سنقوم بعرض ومناقشة عصابات الطاقة و كثافة الحالات الكلية للمركبات السابقة، مع تحديد الطبيعة الالكترونية لهذه المواد ، و لدراسة الطبيعة الالكترونية لهذه المركبات سنقوم بتحديد مساهمة كل من المدارات الالكترونية للذرات المشكلة لهذه المركبات في المجال الطاقي المحسور بين 4.0 eV إلى 4.0 eV . باستخدام طريقة الأمواج المستوية المتزايدة خطيا والكمون الكامل FP-LAPW تحصلنا على عصابات الطاقة في النقاط عالية التناظر في منطقة بريلوين الأولى للمركبين CoMnTaSi و CoMnTaGe في تقريري GGA و $\text{GGA}+U$ المعرفة في فضاء الشبكة المعكوسة و المميزة بنقاط عالية التناظر موضحة في الشكل (3. IV) :



الشكل (3. IV) : منطقة بريلوين الأولى مرفقة بنقاط عالية التناظر

IV. 3. عصابات الطاقة :

مجموع المنحنيات ($E_n(K)$) تمثل منحنيات تشتت الالكترونات في البلورة و تدعى أيضا بنية

عصابة الطاقة. والتي تمثل كل حالات الطاقة المتاحة للالكترونات، فمن خلال ملأ الحالات

بالكترونات البلورة عند الصفر المطلق نجد: حالات عصابة النقل ليست مملوقة (شاغرة) على عكس

عصابة التكافؤ التي تكون مملوقة بالالكترونات. إذن عصابات الطاقة تعطي الطاقات الممكنة

للالكترونات كتابع لشعاع الموجة K و تمثل في الفضاء العكسي ولكن للتبسيط يتم التعامل فقط مع

المتجهات ذات التنازير العالي في منطقة بريلوين الأولي.

وجدنا أن المركبين السابقين هما مركبين معديين بالنسبة لسبعين أعلى ونصفاً ناقلاً بالنسبة

لسبعين أسفل الشكل (IV. 4)، من الواضح أن النهاية الحدية الصغرى لعصابتي النقل (CBM)

مفصولة عن النهاية الكبيرة لعصابتي التكافؤ (VBM) على طول المتجه (W K) بالنسبة لسبعين

أعلى ، كما لاحظنا أن بنية عصابة الطاقة للمركبين تقريباً متشابهة. إضافة إلى ذلك، وجدنا أن

عصابة التكافؤ للمركبين تقطع مستوى فارمي E_R .

أما بالنسبة لسبعين أسفل وجدنا فجوة الطاقة Eg (gap) حول مستوى فلومي E_F أدى إلى

استقطاب سبيني 100٪ عند مستوى فلومي E_F ، ومنه المركبين يسلكان سلوك نصف معدن في الحالة

الأساسية (equilibrium state) للمركبين Eg (gap). قيمة الفجوة الممنوعة Eg للمركبين

$CoMnTaSi$ تساوي $Eg \downarrow = 0.39\text{eV}$ و $CoMnTaGe$ تساوي $Eg \downarrow = 0.34\text{eV}$ على الترتيب. تحصلنا على نتائج

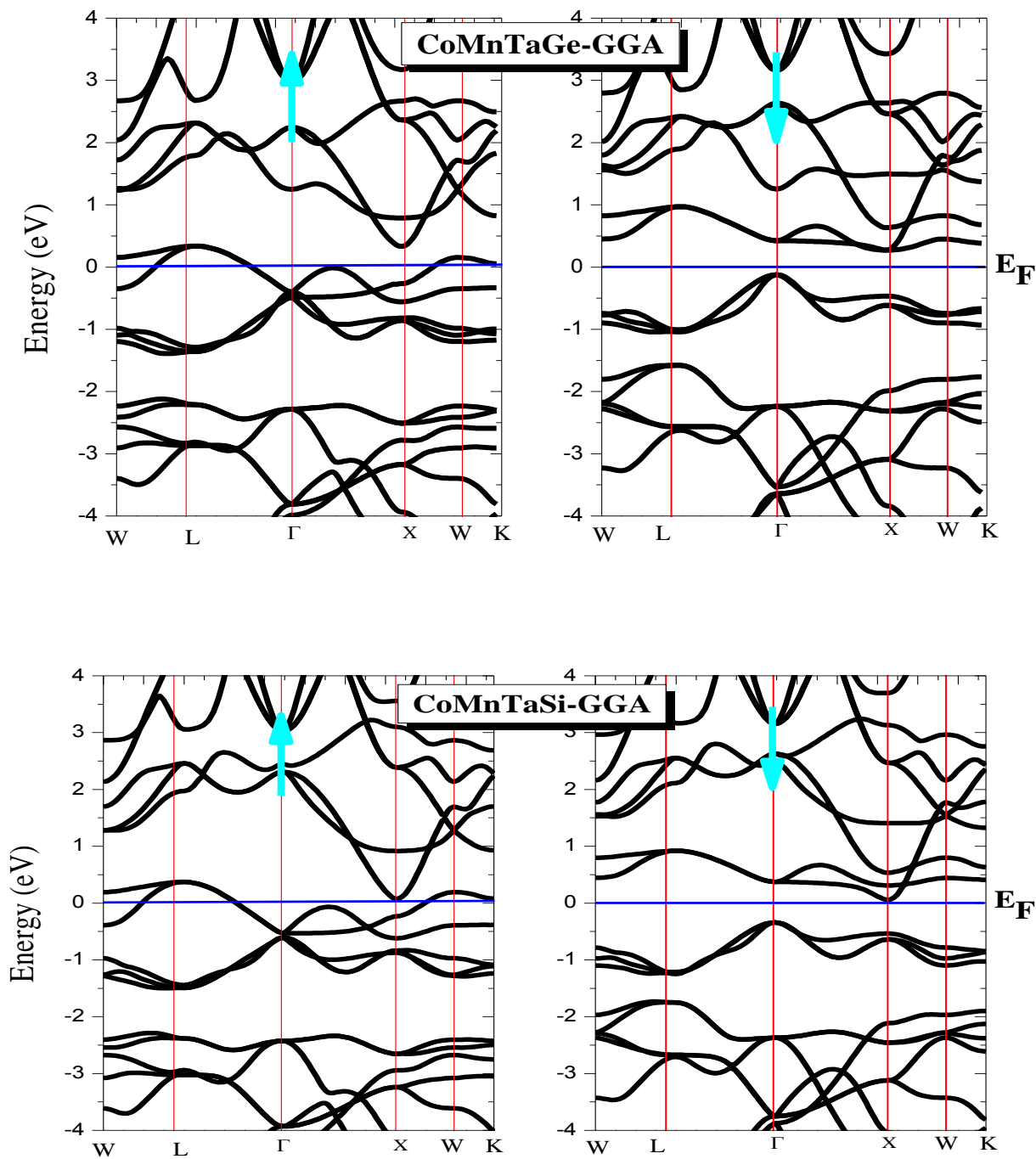
مماثلة أثناة حسابنا بتقرير $GGA+U$ وهذا ما يثمن نتائجنا ، مع ذكر أنه حتى اليوم لم تثبت أي

دراسة نظرية أو تجريبية للخصائص الالكترونية لهذه المركبات.

يوضح الشكلان (IV-4.أ) و (IV-4.ب) بنية عصابات الطاقة لسبعين أعلى و سبعين

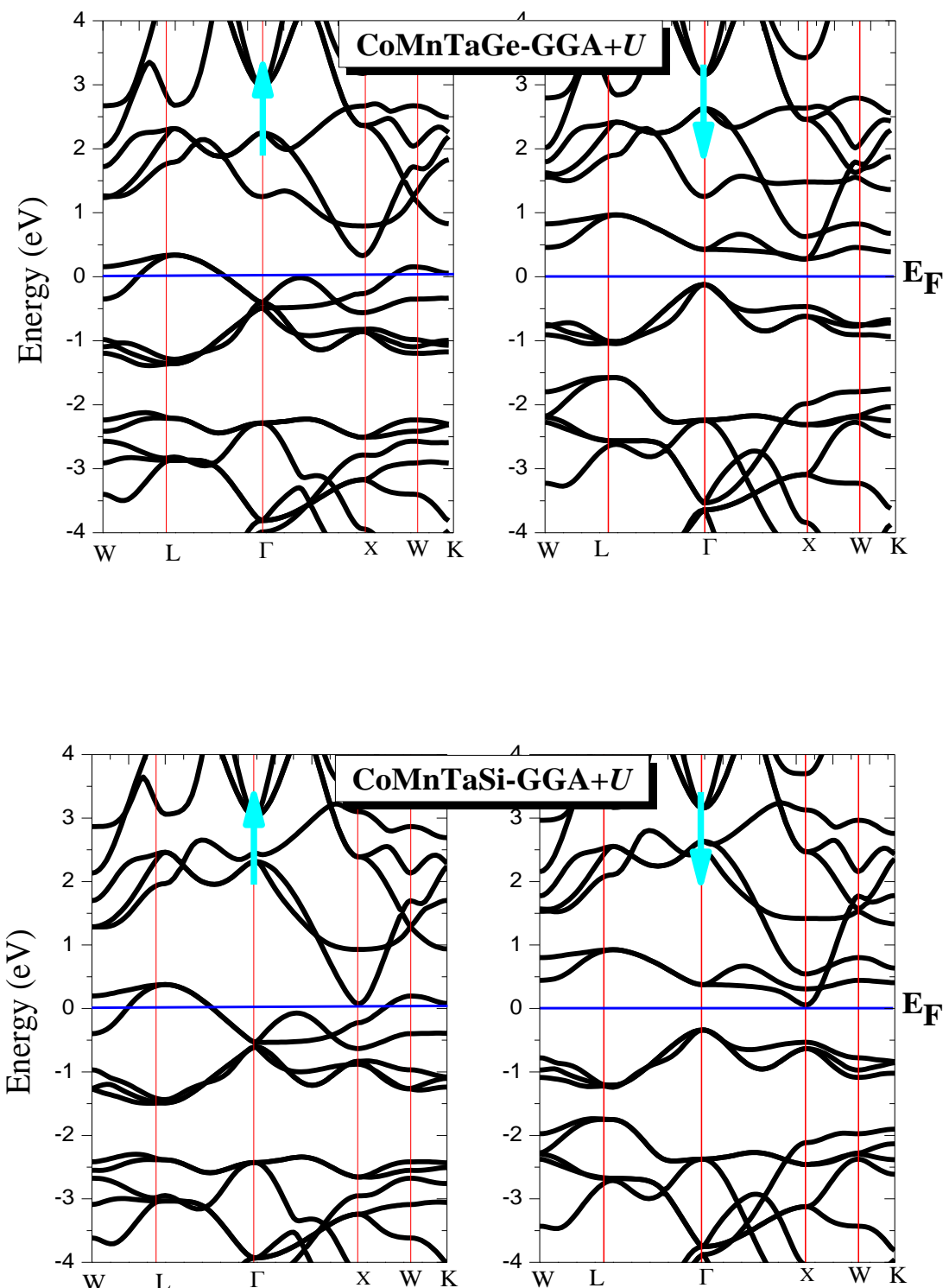
أسفل للمركبين $CoMnTaSi$ و $CoMnTaGe$ حيث مستوى GGA و $GGA+U$ في تقريري

. فارمي موجود عند 0.0 eV



الشكل (4.IV-أ): عصابة الطاقة للمركبين CoMnTaGe و CoMnTaSi

في تقرير GGA



الشكل (4.IV-ب): عصابة الطاقة للمركبين CoMnTaGe و CoMnTaSi في تقرير GGA+ U

GGA+ U

2.3.IV. كثافة الحالات الكلية و الجزئية :

تم حساب كثافة الحالات الكلية (DOS) والجزئية (TDOS) للمركيبين CoMnTaSi و CoMnTaGe في تقرير $U_{\text{GGA+}}$ بطريقة Tetrahedron حيث استخدمنا عدد من النقاط الخاصة (56 نقطة لكل مركب).

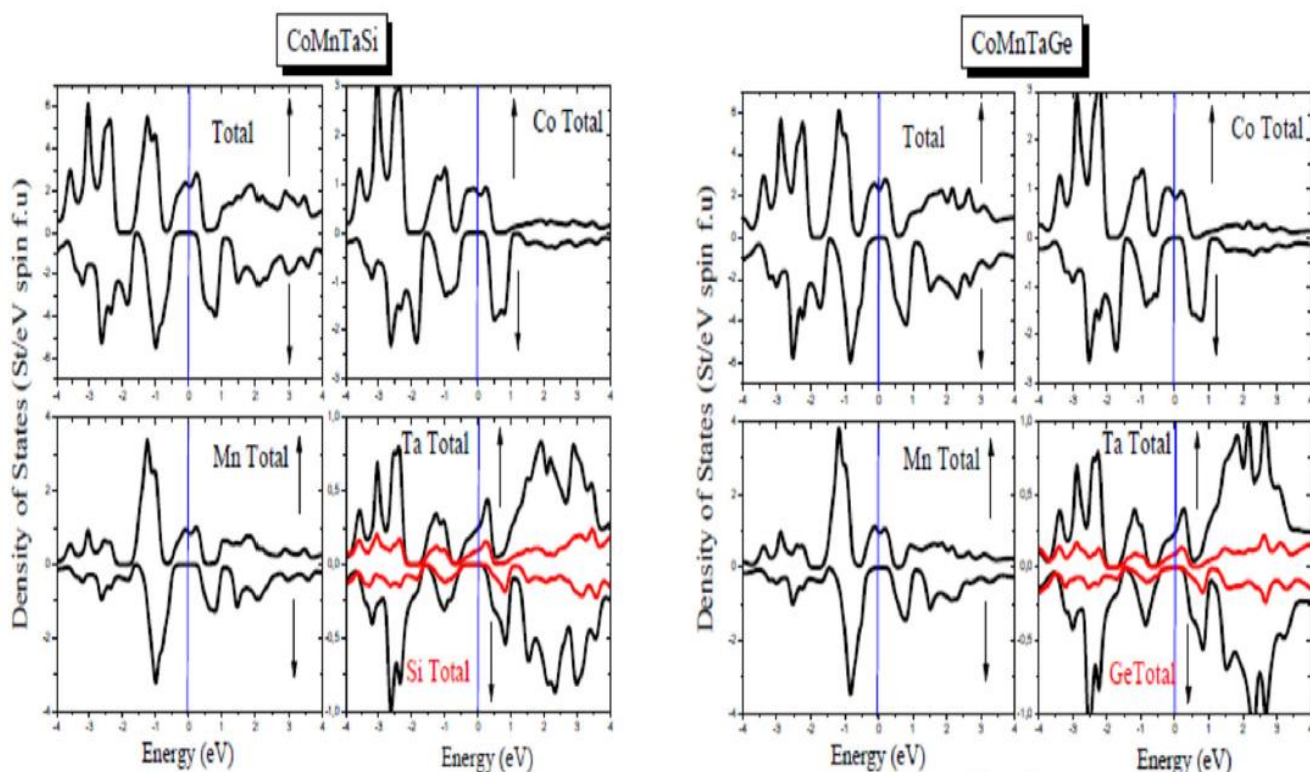
يبين الشكلين (5.IV، 6.IV) كثافة الحالات الكلية والجزئية للمركيبين CoMnTaSi و CoMnTaGe في تقرير $U_{\text{GGA+}}$. الشكل (5.IV)، يمثل مساهمة المستويات الذرية $3d$ و $5d$ و s في جهتي سبين أعلى \uparrow و سبين أسفل \downarrow في البناء الإلكتروني للمركيبين CoMnTaSi و CoMnTaGe ، حيث المستويان $3d$ و $5d$ ينقسمان إلى مستويان ذريان هما e_g و t_{2g} و ذلك لكل ذرات المعادن الانتقالية: الكوبالت Co و المanganze Mn و التانتال Ta و المستوى s لكل من ذرتىي السيلسيوم Si أو الجرمانيوم Ge . عموماً المركيبين لهما نفس الشكل العام لكثافة الحالات الكلية و الجزئية، بوجود عصابة تكافؤ وحيدة VB ، أي المجال الطاقي من - 4 إلى مستوى فارمي E_F ، يعود تشكل هذه العصابة إلى التحام المستويين الذريين Co-t_{2g} و Mn-t_{2g} مع المستوى الذري Si-s و Mn-s . حول مستوى فارمي E_F يظهر جلياً أن مساهمة المستويين الذريين Co-t_{2g} و Mn-t_{2g} يكون كبير مقارنة مع المستويين Ta-t_{2g} و Mn-e_g اللذان تكون مساهمتهما جزئية ، أما المستويين Co-e_g و Ta-e_g فتكون مساهمتهما شبه منعدمة (سبين \uparrow) ، أما بالنسبة لسبين \downarrow تكون كثافة الحالات منعدمة حول مستوى فارمي E_F بسبب انتقال الإلكترونات من المستوى الذري Mn-t_{2g} إلى المستوى الذري Ta-e_g . وهذا ما يثبت أن المركيبين لهما صفة نصف معدن . من مستوى فارمي E_F

إلى باقي المجال أي عصابة النقل CB نلاحظ مساهمة المستويين $Mn-t_{2g}$ و $Ta-t_{2g}$ تكون كبيرة و

باقي المستويات تكون مساهمتها شبه منعدمة (سبين↑) أما بالنسبة لسبين↓ لاحظنا مساهمة المستويات

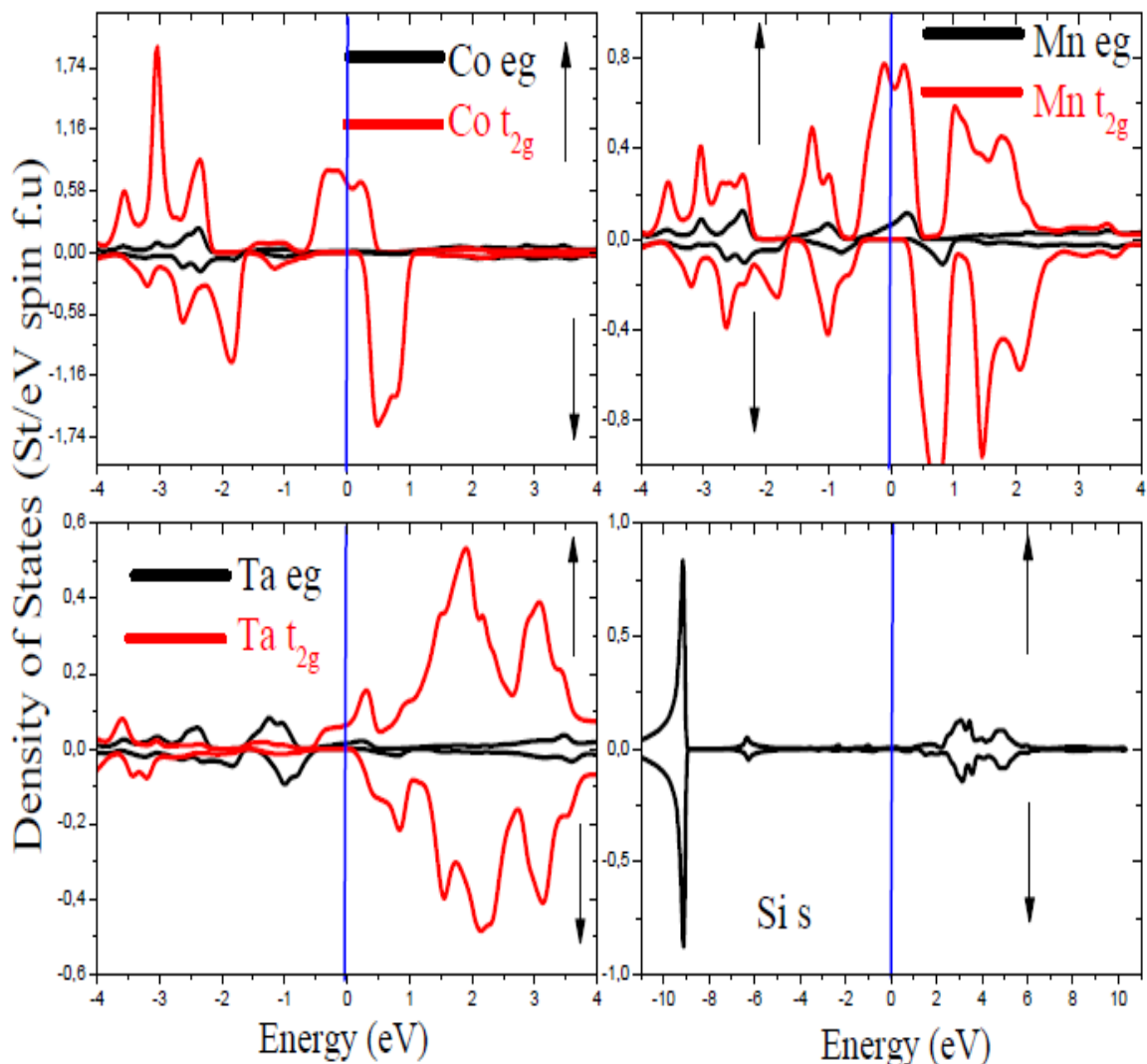
Baqi المساهمات تكون مساهمتها ضعيفة ، كما لا حظنا أن $Mn-t_{2g}$ و $Ta-t_{2g}$ و $Co-t_{2g}$ كبيرة و باقي المستويات تكون مساهمتها ضعيفة ، كما لا حظنا أن

نسبة مساهمة المستويات الذرية للعنصر Ta تكون كبيرة في عصابة النقل CB.



الشكل (5.IV) : كثافة الحالات الكلية للمركبين $CoMnTaGe$ و $CoMnTaSi$

. في تقرير GGA+ U



الشكل (6.IV) : كثافة الحالات الجزيئية للمركبين CoMnTaGe و CoMnTaSi و SiS في تقرير $\text{GGA}+U$

. في تقرير $\text{GGA}+U$

4. الخصائص المغناطيسية :

في عملنا هذا تم دراسة الحالة المغناطيسية (FM)، حيث تم حساب العزم المغناطيسي الكلي m_{total} و الجزئي للمركبين CoMnTaGe و CoMnTaSi ، في حالة دالة الموجة النسبية باستخدام كل من التقريبين GGA و $GGA+U$ المبينة في الجدول (3.IV) .

الجدول (3.IV) : قيم العزم المغناطيسي الكلي و الجزئي لمركبى هسلر $\text{CoMnTa}(\text{Si, Ge})$

	method	m_{Co}	m_{Mn}	$m_{\text{Ta/Cr}}$	Interstitial	$m_{\text{Ge/Si/Sb}}$	m_{total}
CoMnTaGe	GGA	0.703	0.364	-0.016	-0.028	0.004	1.00
	$GGA+U$	0.704	0.362	-0.016	-0.032	0.002	1.00
CoMnTaSi	GGA	0.615	0.532	-0.060	-0.048	-0.002	1.00
	$GGA+U$	0.620	0.521	-0.060	-0.050	-0.003	1.00
CoMnCrSb [80]	GGA	1.14	3.17	-1.29	-0.069	0.02	3.00

من خلال الجدول (3.IV) لاحظنا أن قيمة العزم المغناطيسي الكلي لم تتغير بالنسبة للمركبين

$\text{CoMnTa}(\text{Si, Ge})$ في التقريبين GGA و $GGA+U$.

وجدنا إن العزم الكلي المغناطيسي للمركبين CoMnTaGe و CoMnTaSi هو $1.00\mu_{\beta}$

فهذه القيمة موافقة للقاعدة النظرية لسلاتر- باولين "rule of 24" و المكتوبة على الشكل

$N_v - 24 = m_{tot}$ ، حيث N_v هو مجموع عدد الكترونات التكافؤ (25 إلكترون) ، وهذا يبين

أيضاً أن المركبين $\text{CoMnTa}(\text{Si, Ge})$ هما نصفاً معدن. انطلاقاً من الجدول لاحظنا مساهمة كبيرة

للعزم المغناطيسي لذرات العناصر الانتقالية الكوبالت Co و المنغناز Mn ، في حين نجد أن مساهمة

العزم المغناطيسي لذرات العنصرين Si و Ge معدومة . بالنسبة لذرات عنصر التانتال Ta لاحظنا أن

عزم المغناطيسي يساوي $\mu_B = 0.016$ للمركب CoMnTaSi و $\mu_B = 0.06$ للمركب CoMnTaGe

في التقريبين GGA و $GGA+U$ فمساهمة هذه الذرات في العزم المغناطيسي الكلي ضعيفة جدا.

إضافة لذلك فالعزم المغناطيسي لذرات Ta متغير لكن لا يؤثر في العزم المغناطيسي الكلي. دراستنا

بيّنت أن العزم المغناطيسي لذرات الكوبالت Co في نفس المجال الذي حدده أزدوقان و معاونوه

[82] إلى $0.62\mu_B$ ، حيث درس أزدوقان و معاونوه البنية الالكترونية لأنصاف المعادن

CoMnTiAs و CoCrVAs و CoFeTiSi و Co و وجدوا أن العزم المغناطيسي لذرات الكوبالت

يتراوح بين $0.58 \mu_B$ إلى $0.72 \mu_B$. كما وجدنا أن العزم المغناطيسي لذرات المنغناز Mn للمركيين

مختلف وهذا نتیجة لاختلاف توزع الذرات في المركيين CoMnTaSi و CoMnTaGe ، كمثال

على ذلك العزم المغناطيسي لذرات المنغناز Mn للمركب CoMnCrSi يساوي $\mu_B = 0.77$ ، [82]

بينما العزم المغناطيسي لذرات المنغناز Mn للمركب نصف معدني CoMnCrSb يساوي $\mu_B = 3.17$

.[80]

الشكل(7.IV) يمثل تغيرات العزم المغناطيسي بدلالة ثابت الشبكة($a(\text{\AA})$) ، حيث لاحظنا أن

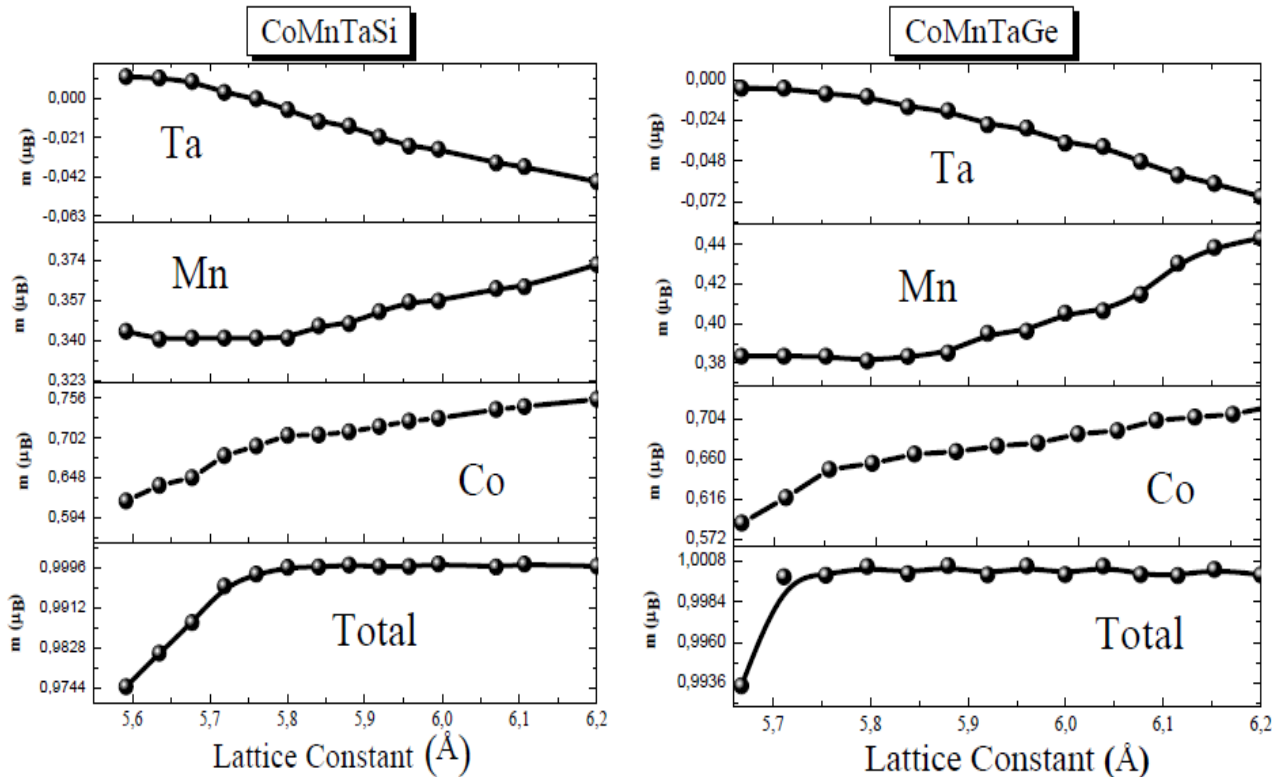
العزم المغناطيسي الكلي يساوي $m_{tot} = 1.00\mu_B$ في المجال 5.76\AA إلى 6.20\AA ، أما في المجال

المحصور بين 5.5\AA إلى 5.7\AA فان العزم المغناطيسي يكون أقل من الواحد. أيضا وجدنا أن العزم

المغناطيسي لذرات الكوبالت Co يتزايد بتزايد ثابت الشبكة($a(\text{\AA})$)، في حين نجد العزم المغناطيسي

لذرات عنصر التانتال Ta يتناقص. أما العزم المغناطيسي لذرات المنغناز Mn للمركيين يتزايد

تدريجيا مع تزايد ثابت الشبكة (a). وهذا بسبب نقص الالتحام (التهجين) بين ذرات العناصر الانتحالية [83].



الشكل(7.IV) يمثل تغير العزم المغناطيسي بدلالة ثابت الشبكة(a) للمركبين $\text{CoMnTa}(\text{Si}, \text{Ge})$ للمركبين

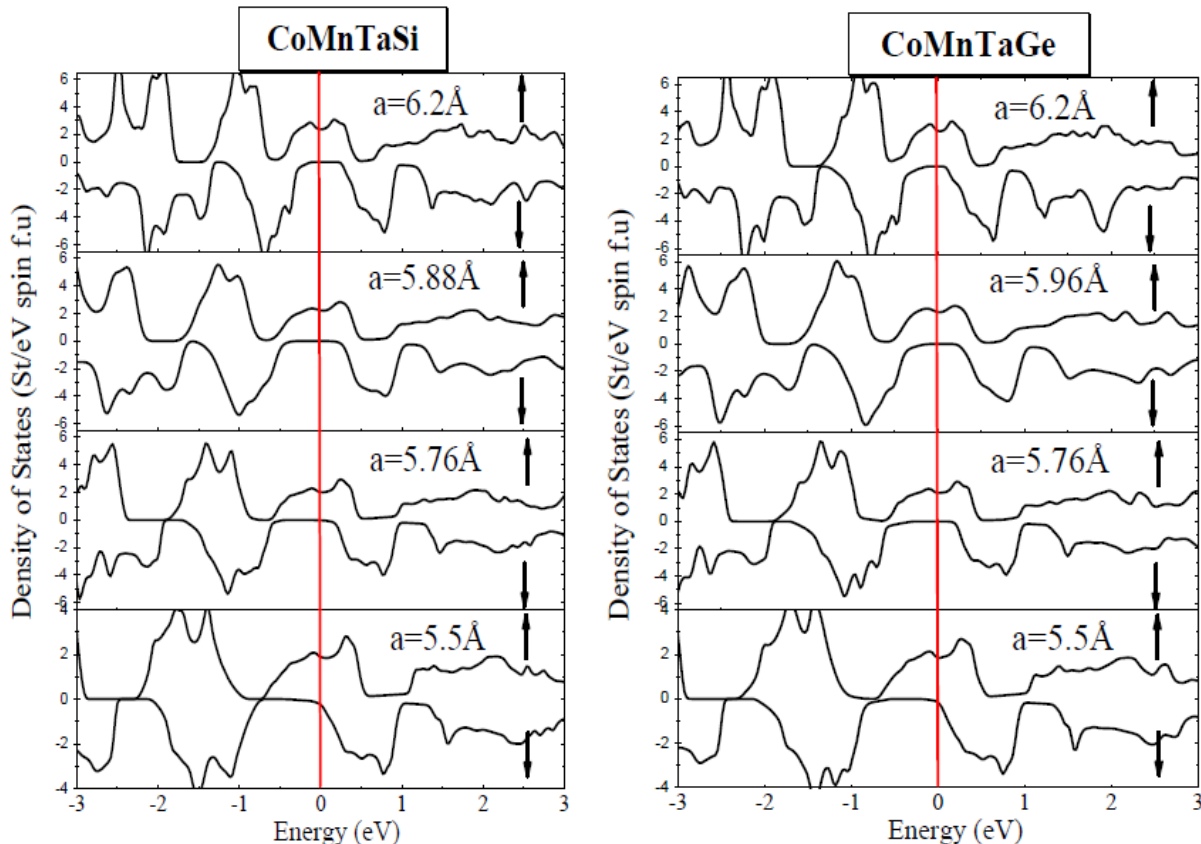
في الشكل(8.IV) الذي يمثل تغير كثافة الحالات الكلية بدلالة ثابت الشبكة(a)(Å) للمركبين

لاحظنا أن للمركبين طبيعة نصف معدن أي وجود فجوة طاقة لسبين أسفل فوق القيمة 5.76 \AA لثابت الشبكة(a)(Å). إضافة إلى ذلك وجدنا أن فجوة الطاقة

تنقص بزيادة ثابت الشبكة(a)(Å). وهذا يمكن أن يفهم بسهولة أنطلاقا من سلوك الكترونات السوي لذري السيليسيوم Si والجرمانيوم Ge. حيث عندما نقوم بعملية ضغط يتناقص ثابت الشبكة(a)(Å)

والكترونات السوي P لذري Si و Ge يحدث لهم تقلص، لأن الكترونات السوي d لذرات المعادن

الانتقالية متوضعة بشكل جيد (are already well localized). هذا التقلص يؤدي إلى انتقال الحالات d لذرات المعادن الانتقالية. $Ge-p$ و $Si-p$ إلى مستويات طاقة عليا إذا ما قورنت بالحالات E_F إلى مستويات طاقة عليا وبالتالي زادت فجوة الطاقة Eg . [83]



الشكل(8. IV) يمثل تغير كثافة الحالات الكلية بدلالة ثابت الشبكة(Å) (a) للمركبين

CoMnTaGe و CoMnTaSi

قائمة الأشكال

20	الشكل (1.I): مخطط لنظرية دالية الكثافة DFT
27	الشكل (1.II): شكل كمون M.T.
40	الشكل(2.II): بنية برنامج Wien2K
42	الشكل (1.III): الجدول الدوري للعناصر مركيات هسلر.
43	الشكل (2.III): تمثيل تخطيطي لكثافة الحالات لأنصاف المعادن ، المعادن وأنصاف النوافل
45	الشكل (3.III): التمثيل التخطيطي للبني المختلفة لمركيات هسلر
47	الشكل (4.III): منحنى سلاوتر باولينغ للمعادن الانتقالية 3d و سبانكها
49	الشكل (5.III): تمثيل تخطيطي لالتحام (التهجين) طبقات ذرات المعادن الانتقالية لمركيات هسلر
51	الشكل (6.III): تغير العزم المغناطيسي بدلاله الكترونات التكافؤ لبعض مركيات هسلر العكسية
53	الشكل (7.III): حساب درجة حرارة كبيري بدلاله الكترونات التكافؤ و العزم المغناطيسي
55	الشكل (8.III): صمام العزم المغزلي
60	الشكل (1. IV) : البنية البلورية للمركيبين CoMnTaGe و CoMnTaSi
63	الشكل(2.IV) : تغيرات الطاقة الكلية للمركيبين CoMnTaGe و CoMnTaSi بدلاله الحجم
64	الشكل (3. IV) : منطقة بريلوين الأولى مرفقة بنقاط عالية التناظر
67	الشكل(4.IV-أ) : عصابة الطاقة للمركيبين CoMnTaGe و CoMnTaSi في تقريب GGA
68	الشكل (4.IV-ب) : عصابة الطاقة للمركيبين CoMnTaGe و CoMnTaSi في تقريب GGA+U
70	الشكل (5.IV) : كثافة الحالات الكلية للمركيبين CoMnTaGe و CoMnTaSi في تقريب GGA+U
71	الشكل (6.IV) : كثافة الحالات الجزئية للمركيبين CoMnTaGe و CoMnTaSi في تقريب GGA+U
74	الشكل(7.IV) يمثل تغير العزم المغناطيسي بدلاله ثابت الشبكة(a) للمركيبين (Si, Ge)
75	الشكل(8. IV) يمثل تغير كثافة الحالات الكلية بدلاله ثابت الشبكة(a)(\AA)

قائمة الجداول

- الجدول (1.III) : العزم المغناطيسي لسبائك Co_2MnZ 46
- الجدول (2.III) : العزم المغناطيسي ب μ_B لبعض مركبات هسلر الرباعية النصف معدنية 50
- الجدول (1.IV) : قيم كل من ثابت الشبكة ($a(\text{\AA})$) ومعامل الانضغاطية B و المشتقة الأولى لمعامل الانضغاطية ' B' ، لمركبين CoMnTaGe و CoMnTaSi 63
- الجدول (2.IV) : قيم طافة القشك لمركبين CoMnTaGe و CoMnTaSi 63
- الجدول (3.IV) : قيم العزم المغناطيسي الكلي و الجنزي لمركبي هسلر CoMnTa(Si, Ge) 72

خلاصة عامة

في هذا العمل قمنا بدراسة الخصائص البنوية والالكترونية والمغناطيسية لمركب هسلر CoMnTaGe و CoMnTaSi معتمدين على طريقة الامواج المستوية المتزايدة خطياً والكمون الكامل، المدمجة في برنامج wien2k في الإطار العام لنظرية دالية الكثافة وذلك في كل من التقريبين GGA+U و GGA .

النتائج المبدئية لعملنا هذا مبينة كما يلي:

- بالنسبة لمركب هسلر الرباعية CoMnTaGe و CoMnTaSi بما مركتها نصف معدن فيرو مغناطيسي (Half-metallic ferromagnets (HMFs)) لها عزم مغناطيسي $1.00\mu_B$ يمتازان ببنية بلورية من الشكل LiMgPdSn-type و زمرة تناظر فضائية من نوع $\text{F}-43m$. صيغتهما الكيميائية من الشكل $(XX')YZ$ ، حيث X, Y من المعادن الانتقالية أما Z من عناصر المجموعة sp .

معظم النتائج المتحصل عليها لثابت الشبكة البلورية $a(\text{\AA})$ للمركبين CoMnTaSi و CoMnTaGe كانت متقاربة بالنسبة للحالتين الفيرومغناطيسية (FM) والبارامغناطيسية (PM)، كما تم تحديد معامل الانضغاطية B والمشتقة الأولى لمعامل الانضغاطية $'B'$ ووجد أن معامل الانضغاطية B للمركب CoMnTaSi أكبر من معامل الانضغاطية B للمركب CoMnTaGe وهذا يعني أن المركب CoMnTaSi أكثر صلابة من المركب CoMnTaGe . إضافة إلى ذلك، لاحظنا أن الطور الفيرو مغناطيسي أكثر استقراراً من الطور البارا مغناطيسي ، كما تم حساب قيمة طاقة التشكّل ووجدنا أن المركبين $\text{CoMnTaZ} (\text{Z}=\text{Si, Ge})$ مستقران طاقوياً، كما لاحظنا أن قيمة طاقة تشكّل مركب

CoMnTaSi هي أفل من تلك المحسوبة لمركب CoMnTaGe ، مما يشير إلى أن أكثر استقرارا من CoMnTaGe. ونظراً لغياب القيم التجريبية والحسابات النظرية للمركبين فان هذه النتائج بمثابة مرجع للدراسة.

- أما الخصائص الإلكترونية فوجدنا أن المركبين CoMnTaSi و CoMnTaGe يسلكان سلوك نصف معدن في الحالة الأساسية (gap) E_g وقيمة فجوة الطاقة (equilibrium state) للمركبين على الترتيب. تحصلنا على $E_g = 0.34\text{eV}$ و 0.39eV تساوي CoMnTaGe و CoMnTaSi نتائج مماثلة أثناء حسابنا بتقرير $GGA+U$ وهذا ما يثمن نتائجنا.

- كثافة الحالات الكلية للمركبين السابقين عموماً لها نفس الشكل العام لكثافة الحالات الكلية وجزئية، بوجود عصابة تكافؤ وحيدة VB ، يعود تشكيل هذه العصابة إلى التحام المستويين الذريين $Mn-t_{2g}$ و $Co-t_{2g}$ مع المستوى الذري Si-s للعنصر Si . حول مستوى فارمي E_F بالنسبة لسبعين ↓ تكون كثافة الحالات منعدمة حول مستوى فارمي E_F بسبب انتقال الإلكترونات من المستوى الذري $Mn-t_{2g}$ إلى المستوى الذري $Ta-e_g$. وهذا ما يثبت أن المركبين لها صفة نصف معدن . من مستوى فارمي E_F إلى باقي المجال أي عصابة النقل CB نلاحظ مساهمة المستويين $Mn-t_{2g}$ و $Ta-t_{2g}$ تكون كبيرة و باقي المستويات تكون مساهمتها شبه منعدمة (سبعين↑) أما بالنسبة لسبعين ↓ لاحظنا مساهمة المستويات $Mn-t_{2g}$ و $Co-t_{2g}$ و $Ta-t_{2g}$ كبيرة و باقي المستويات تكون مساهمتها ضعيفة ، كما لا حظنا أن نسبة مساهمة المستويات الذرية للعنصر Ta تكون مرتفعة في عصابة النقل CB.

بالنسبة للخصائص المغناطيسية، تم تحديد العزم المغناطيسي الكلي و الجزيئي للمركبين في التقريبين GGA و GGA+ U . وجذنا إن العزم الكلي المغناطيسي CoMnTaGe و CoMnTaSi و CoMnTaSi للمركبين أي أنه عند تطبيق حد هبارد (U) فان $m_{tot} = 1.00\mu_B$ هو قيمة العزم المغناطيسي الكلي لم تغير . إضافة إلى ذلك، وجذنا أن هذه القيمة موافقة لقاعدة النظرية لسلاتر- باولين وهذا ما يبين أيضا أن المركبين CoMnTa(Si, Ge) هما نصفا معدن. من خلال نتائج حساباتنا يمكن للمركبين الجديدين CoMnTa(Si, Ge) أن يستعملوا في تطبيقات مجال السبيبن الإلكتروني والالكترونيات المغناطيسية (spintronics/magnetoelectronics).

المراجع

- [1]. I. Žutic, J. Fabian, S. Das Sarma, Rev. Mod. Phys. 76, 323 (2004)
- [2]. A. Hirohata, K. Takanashi, J. Phys. D Appl. Phys. 47, 193001 (2014)
- [3]. S.A. Wolf, D.D. Awschalom, R.A. Buhrman, J.M. Daughton, S. von Molnár, M.L. Roukes, A.Y. Chtchelkanova, D.M. Treger, Science 294, 1488 (2001)
- [4]. G.A. Prinz, Science 282, 1660 (1998)
- [5]. G.A. Prinz, J. Magn. Magn. Mater. 200, 57 (1999)
- [6]. J. de Boeck, W. van Roy, J. Das, V. Motsnyi, Z. Liu, L. Lagae, H. Boeve, K. Dessein, G. Borghs, Semicond. Sci. Technol. 17, 342 (2002)
- [7]. J. de Boeck, W. van Roy, V. Motsnyi, Z. Liu, K. Dessein, G. Borghs, Thin Solid Films 412,3 (2002)
- [8]. F. Heusler, Verh. Dtsch. Phys. Ges. 12, 219 (1903)
- [9]. P.J. Webster, K.R.A. Ziebeck, vol 19c, ed. Springer. 75–184(1988)
- [10]. K.R.A. Ziebeck, K.U. Neumann, vol 32/c, ed. Springer. 64–414 (2001)
- [11]. J. Pierre, R.V. Skolozdra, J. Tobola, S. Kaprzyk, C. Hordequin, M.A. Kouacou, I. Karla, R. Currat, E. Lelièvre-Berna, J. Alloys Compd. 262–263, 101 (1997)
- [12]. J. Tobola, J. Pierre, S. Kaprzyk, R.V. Skolozdra, M.A. Kouacou, J. Phys. Condens.Matter 10, 1013 (1998)
- [13]. J. Tobola, J. Pierre, J. Alloys Compd. 296, 243 (2000)
- [14]. J. Tobola, S. Kaprzyk, P. Pecheur, Phys. St. Sol. (b) 236, 531 (2003)

- [15]. M. Gillessen, R. Dronskowski, *J. Comput. Chem.* 30, 1290 (2009)
- [16]. M. Gillessen, R. Dronskowski, *J. Comput. Chem.* 31, 612 (2010)
- [17]. Dai, X., Liu, G., Fecher, G.H., Felser, C., Li, Y., Liu, H.: *J. Appl. Phys.* 105, 07E901 (2009).
- [18]. Xu, G.Z., Liu, E.K., Du, Y., Li, G.J., Liu, G.D., Wang, W.H., Wu, G.H.: *EPL* 102, 17007 (2013) .
- [19]. V. Alijani, J.Winterlik, G.H. Fecher, S.S. Naghavi, C. Felser, *Phys. Rev. B* 83, 184428 (2011).
- [20]. K. Watanabe, *Trans. Jpn. Inst. Met.* 17, 220 (1976).
- [21]. R.A. de Groot, F.M. Mueller, P.G. van Engen, K.H.J. Buschow. *Phys. Rev. Lett.* 50, 2024(1983).
- [22]. P.J. Webster, *J. Phys. Chem. Solids* 32, 1221 (1971).
- [23]. K.R.A. Ziebeck, P.J. Webster, *J. Phys. Chem. Solids* 35, 1 (1974).
- [24]. J.C. Suits, *Phys. Rev. B* 14, 4131 (1976).
- [25]. J. Kübler, A.R. Williams, C.B. Sommers, *Phys. Rev. B* 28, 1745 (1983).
- [26]. S. Ishida, S. Akazawa, Y. Kubo, J. Ishida, *J. Phys. F Met. Phys.* 12, 1111 (1982).
- [27]. S. Ishida, S. Fujii, S. Kashiwagi, S. Asano, *J. Phys. Soc. Jpn.* 64, 2152 (1995).
- [28]. S. Fujii, S. Sugimura, S. Ishida, S. Asano, *J. Phys. Condens. Matter* 2, 8583 (1990).
- [29] J.C. Slater, *Phys. Rev.* 51, 846 (1937).

- [30] P. Blaha, K. Schwarz, G. K. H. Madsen, D. Kvasnicka, J. Luitz, Karlheinz Schwarz, Technische Universität, Wien, Austria, ISBN 3-9501031-1-2(2001).
- [31] J. P. Perdew, S. Burke, M. Ernzerhof. Physical Review Letters 77, 3865 (1996).
- [32] C. Loschen, J. Carrasco, K.M. Neyman, F. Illas, Phys. Rev. B 75, 035115 (2007).
- [33] M. Born, J.R. Oppenheimer, Ann. Phys. 87,457 (1927).
- [34] D.R. Hartree, Proc. Cambridge philos. Soc. 24,89 (1928).
- [35] V. Fock, Z.Phys. 61, 126(1930) ; 62, 795 (1930).
- [36] L. H. Thomas. Proc. Cambridge Philos. Soc 23, 542 (1928).
- [37] E. Fermi. Z. Phys 48, 73 (1928).
- [38] P.Kohenberg and W. Kohn , Phys. Rev.136, 864 (1964).
- [39] L.J.Sham, W.Kohn, Phys.Rev 145, 561 (1966).
- [40] S. Cottenier, Density Functional Theory and the family of (L) APW-methods: a step-by step introduction Belguim August 6 (2004).
- [41]. P.J. Webster, J. Phys. Chem. Solids 32, 1221 (1971).
- [42] Z. Wu, R.E. Cohen, Phys. Rev. B 73, 235116 (2006).
- [43] . J.C. Suits, Phys. Rev. B **14**, 4131 (1976).
- [44] J. Hubbard, Prec. Roy. Soc. (London), A276, 238 (1963).
- [45] J.C. Slater, Phys. Rev. 51, 846 (1937).
- [46] O.K. Andersen, Phys. Rev. B 12, 3060 (1975).
- [47] D.D. Koelling and G.O. Arbman, J. Phys. F 5, 2041 (1975).

- [48] F. Rosicky, P. Weinberg and F. Mark, J. Phys. B 9, 2971 (1976).
- [49] J.H. Wood and A.M. Boring, Phys. Rev. B18, 2701 (1978).
- [50] T. Takeda, J. Phys. F 9, 815 (1979).
- [51] A.H. Macdonald, W.E. Pickett and D.D. Koelling, J. Phys. C 13, 2675 (1980).
- [52] S. Fujii, M. Okada, S. Ishida and S. Asano, J. Phys. Soc. Jpn 77, 74702 (2008).
- [53] H. Z. Luo, Z. Y. Zhu, G. D. Liu, S. F. Xu, G.H. Wu, H.Y. Liu, J.P. Qu and Y.X. Li, J. Magn. Magn. Mater. 320, 421 (2008).
- [54] T. Graf, C. Felser, and S. S. P. Parkin. Solid State Chem., vol. 39, no. 1, pp. 1,50 (2011).
- [55] S. Wurmehl, H. C. Kandpal, G. H. Fecher and C. Felser, J. Phys. Condens. Matter. 18, 6171 (2006).
- [56] Galanakis and P.H. Dederichs: Half-Metallicity and Slater-Pauling Behavior in the Ferromagnetic Heusler Alloys, Lect. Notes Phys. 676 .1, 39 (2005).
- [57] Galanakis, E. Sasioglu, S. Blugel, and K. Ozdogan, PHYSICAL REVIEW B 90, 064408 (2014)
- [58] J. C. Slater, “The Ferromagnetism of Nickel. II. Temperature Effects,” Phys. Rev., vol. 49, no. 12. 931,937 (1936).
- [59] L. Pauling, “The nature of the interatomic forces in metals,” Phys. Rev., vol. 54, no. 11, 899(1938).
- [60] I. Galanakis, P. Mavropoulos, and P. H. Dederichs, J.Phys. Appl. Phys., vol. 39, no. 5. 765,775(2006).

- [61] H. C. Kandpal, G. H. Fecher, and C. Felser, *J. Appl. Phys.*, vol. 40, no. 6. 1507(2007).
- [62] Heusler Alloys. C. Felser and A. Hirohata (eds.), Springer Series in Materials Science Vol. 222(2016).
- [63] K. Özdogan, E. Sasioglu, I. Galanakis, *J. Appl. Phys.* 113, 193903 (2013).
- [64] S. Skaftouros, K. Özdogan, E. Sasioglu, I. Galanakis, *Phys. Rev. B* 87, 024420 (2013).
- [65] N.W. Ashcroft, Rinehart and Winston, (1976).
- [66] J. Kübler, *J. Phys. Condens. Matter*, vol. 18, no. 43, 9795(2006).
- [67] M. Tanaka, *J. Cryst. Growth* 202, 660 (1999).
- [68] G. Prinz and K. Hathaway, *Phys. Today* 48, 24 (1995).
- [69] L. Hongzhi, Z. Zhiyong, M. Li, X. Shifeng, L. Heyan, Q. Jingping, L. Yangxian, W. Guangheng, *J. Phys. D: Appl. Phys.* 40, 7121 (2007).
- [70] B. Balke, S. Wurmehl, G.H. Fecher, C. Felser, J. Kübler, *Sci. Technol. Adv. Mater.* 9 014102 (2008).
- [71] M. N. Baibich, J. M. Broto, A. Fert, F. N. Van Dau, F. Petroff, P. Etienne, G. Creuzet, A. Friederich, et J. Chazelas, *Phys. Rev. Lett.*, vol. 61, no 21, 2472(1988).
- [72] Edward.B Stephenson, " Megnitic Proprties of Heusle" , university of illinois, (2007)
- [73] Santner, Thomas J; Williams, Brian J; Notz, William. The design and analysis of computer experiments. Springer Verlag. (2013).
- [74] S. A. Wolf, D.D. Awschalom, R. A. Buhrman, J. M. Daughton, S. von Molnar, M. L. Roukes, A. Y. Chtchelkanova and D. M. Treger. *Science* 294, 1488 (2001).

- [75] G.A. Prinz, *Science*. 282, 1660 (1998).
- [76] Y. Ohno, D. K. Young, B. Beshoten, F. Matsukura, H. Ohno and D. D. Awschalom, *Nature*. 402, 790 (1999).
- [77] T. Dietl, H. Ohno, F. Matsukura, J. Cibert, D. Ferrand, *Science*. 287, 1019 (2000).
- [78] J.H. Park, E. Vescovo, H.J. Kim, C. Kwon, R. Ramesh, T. Venkatesh, *Nature*. 392, 794 (1998).
- [79] Aaron Aguayo, Gabriel Murrieta, *J. Magn. Magn. Mater.* 323 (2011) 3013–3017.
- [80] S. Berri, *J Supercond Nov Magn* (2016) 29: 1309. doi:10.1007/s10948-016-3404-7.
- [81] I. Galanakis, Ph. Mavropoulos, *Journal of Physics: Condensed Matter* 19 (2007) 315213.
- [82] K. Özdogan, E. Şaşioğlu, and I. Galanakis, *J. Appl. Phys.* 113 (2013) 193903.
- [83] I. Galanakis, P. H. Dederichs, and N. Papanikolaou, *Phys. Rev. B* 66, 134428(2002).

Abstract

In this work, we have studied the structural, electronic and magnetic properties of Heusler compounds Cu_2GdIn , Ag_2GdIn and Au_2GdIn . The aim of this project is the investigation of physical properties such as the equilibrium lattice parameter, bulk modulus, and its pressure derivative of bulk modulus, density of state, band structure and the magnetic moment. We have used the FP-LAPW method based on DFT. Exchange-correlation effects are treated using the generalized gradient approximations GGA and GGA+ U . The GGA calculation shows the CoMnTaSi and CoMnTaGe compounds at its equilibrium lattice constant are HM ferromagnet with an indirect band gap $\Gamma \rightarrow X$ of 0.34 eV and 0.39eV. The CoMnTaZ ($Z=\text{Si}, \text{Ge}$) compounds have an integer total magnetic moment of $1.00 \mu_B$, satisfying the Slater-Pauling rule $m_{tot} = (Nv - 24)$. The similar results are also obtained by GGA+ U calculation. Therefore, these new materials are good candidates for potential applications in spintronic.

Résumé

Dans ce travail, nous avons présenté une étude théorique sur les propriétés structurales, électronique et magnétique des composés Heusler CoMnTaSi et CoMnTaGe . Le but du travail est l'investigation des paramètres physiques tels que Les valeurs du paramètre de réseau à l'équilibre, la densité d'état, la structure de bande électronique et le moment magnétique. La méthode de calcul utilisée c'est FP-LAPW qui est incorporée dans le code WIEN2K dans le cadre général de la théorie de la fonctionnelle de la densité (DFT). Les résultats obtenus pour l'approximation (GGA) de CoMnTaSi et CoMnTaGe montre que les composés CoMnTaSi et CoMnTaGe à paramètre de réseau à l'équilibre sont demi-métallique ferromagnétique avec un bande indirect de 0,34 eV et 0,39eV. Les composés CoMnTa(Si, Ge) ont un moment magnétique total $1,00\mu_B$, satisfaisant la règle de Slater-Pauling $m_{tot} = (Nv-24)$.

Les résultats similaires sont également obtenus par le calcul GGA+U. Par conséquent, ces nouveaux matériaux sont de bons candidats pour des applications potentielles en spintronic.

ملخص

في هذا العمل قمنا بدراسة نظرية للخصائص البنوية، الالكترونية و الخصائص المغناطيسية لمركبی هسلر CoMnTaGe و CoMnTaSi من أجل التحقق من الخصائص الفيزيائية مثل ثابت التوازن، كثافة الحالات، بنية عصابات الطاقة و العزم المغناطيسي. الطريقة المستخدمة هي طريقة الأمواج المستوية المتزايدة خطيا والكمون الكامل المدمجة في برنامج WIEN2K وذلك في إطار نظرية دالية الكثافة. في تقریب GGA وجدنا أن المركبين CoMnTaSi و CoMnTaGe يسلکان سلوك نصف معدن فیرومغناطیسی في الحالة الأساسية (equilibrium state) وقيمة فجوة الطاقة للمرکبین (gap) على تساوي $E_g = 0.34\text{eV}$ و 0.39eV على الترتیب. تحصلنا على نتائج مماثلة أثناء حسابنا بتقریب $GGA+U$. وجدنا إن العزم الكلي المغناطیسی للمرکبین CoMnTaGe و CoMnTaSi هو $m_{tot} = 1.00\mu_\beta$ فهذه القيمة موافقة للقاعدة النظرية لسلاتر- باولین “rule of 24” و المكتوبة على الشكل $(N_v - 24) \cdot m_{tot} = 0$. لذلك، من خلال نتائج حساباتنا يمكن للمرکبین الجدیدین CoMnTa(Si, Ge) أن يستعملما في تطبيقات مجال السبيبن الالكتروني.